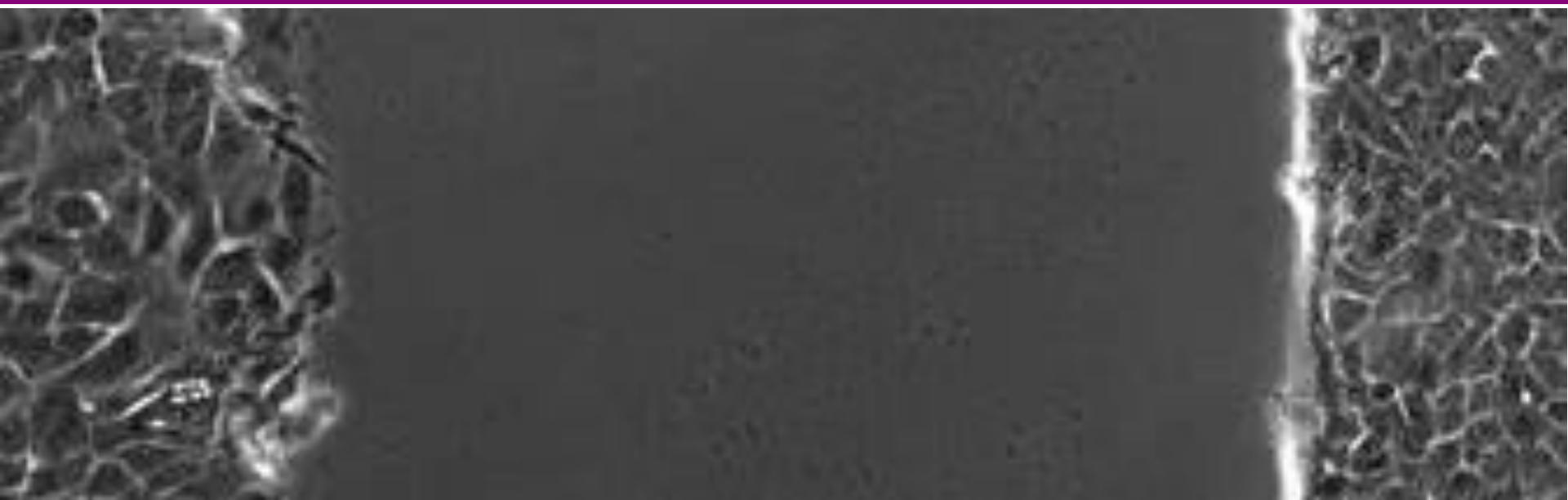


Cagliari - 3 MAGGIO 2022

Università degli Studi di Cagliari - Dipartimento di Fisica



Come vetro fuso, come uno stormo. Uno sguardo fisico sull'invasione tumorale

Fabio Giavazzi, Università degli Studi di Milano



UNIVERSITÀ
DEGLI STUDI
DI MILANO



- 1. L'epitelio è una barriera solida e impenetrabile**

- 2. Le cellule epiteliali isolate sono molto «attive»...**

- 3. ...fino a che non raggiungono uno stato stazionario e quiescente.**

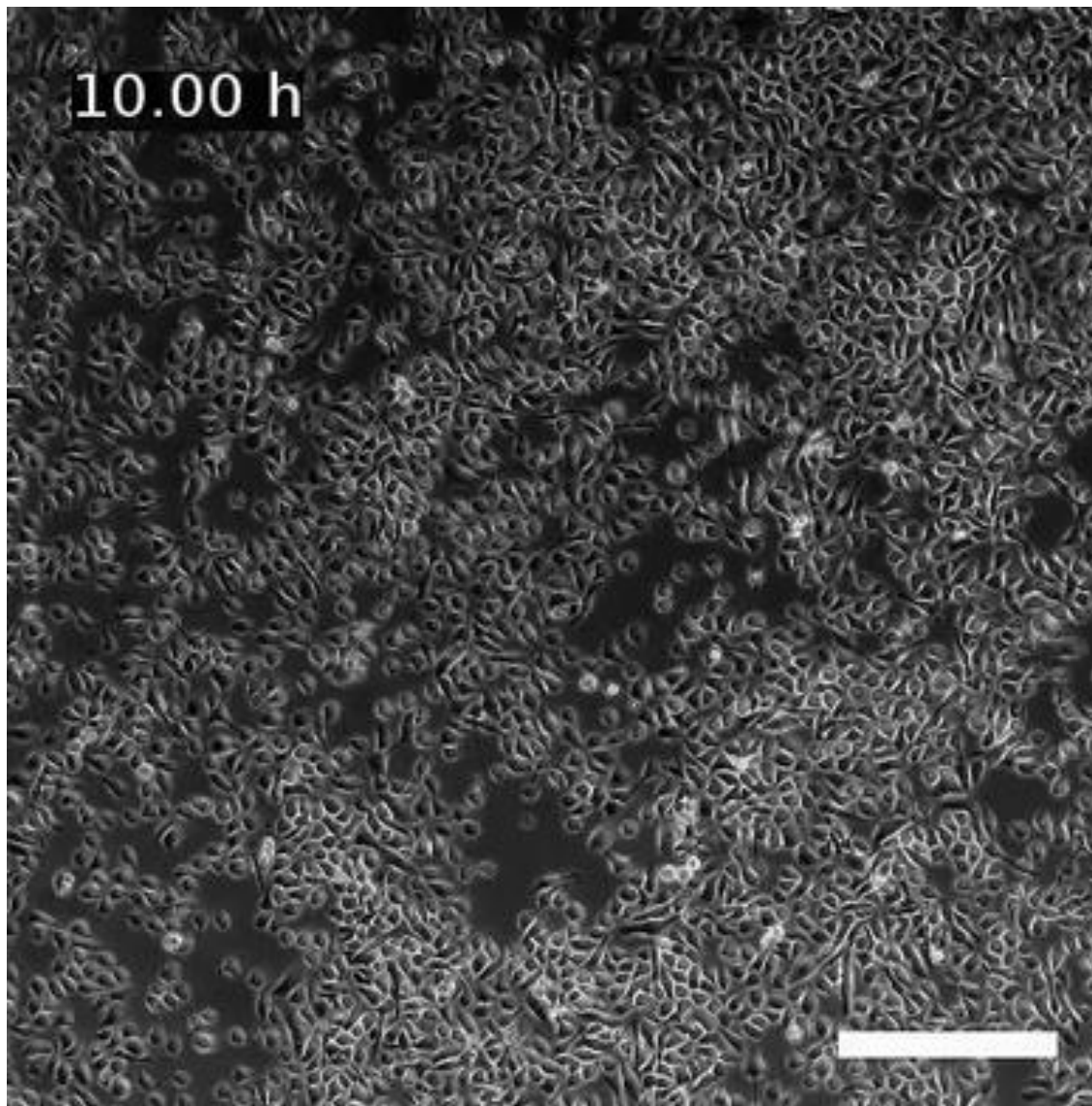


Il était une fois... la Vie (Siamo fatti così)
Albert Barillé, circa 1988



UNIVERSITÀ
DEGLI STUDI
DI MILANO

Qualche anno dopo...



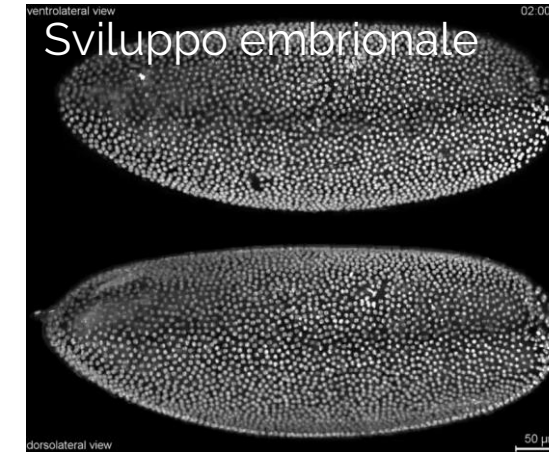
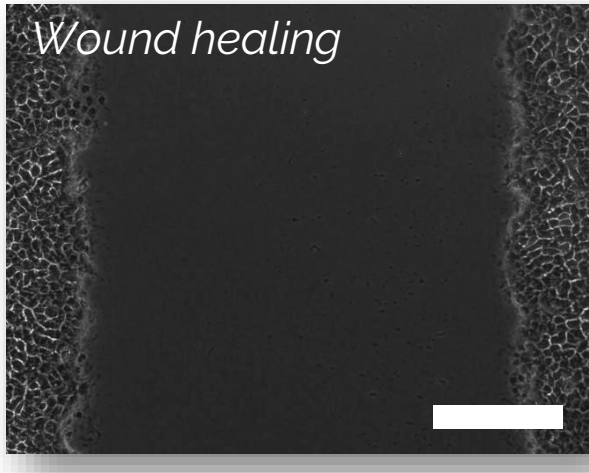
HBEC cells (Scale bar: 300 μ m.)

S Garcia *et al.*, PNAS **112**, 15314-15319 (2015)



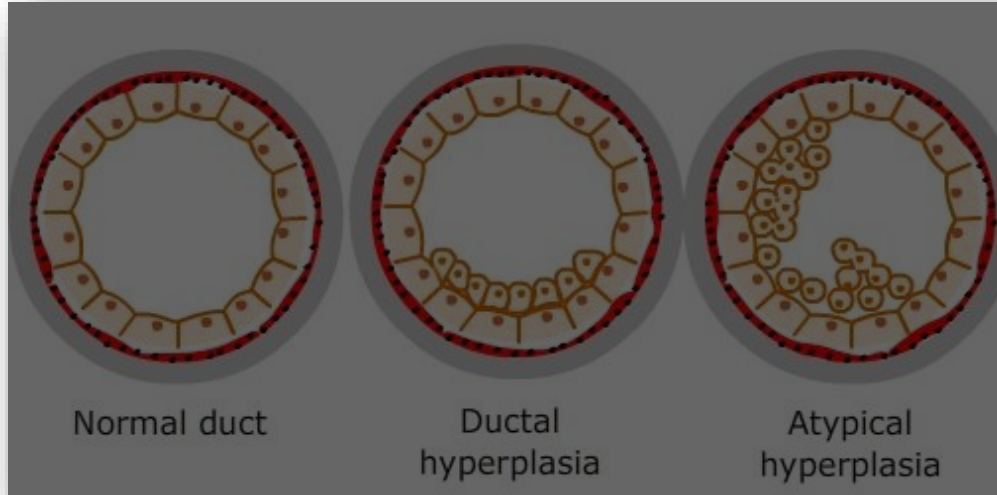
UNIVERSITÀ
DEGLI STUDI
DI MILANO

Jamming e unjamming transitions

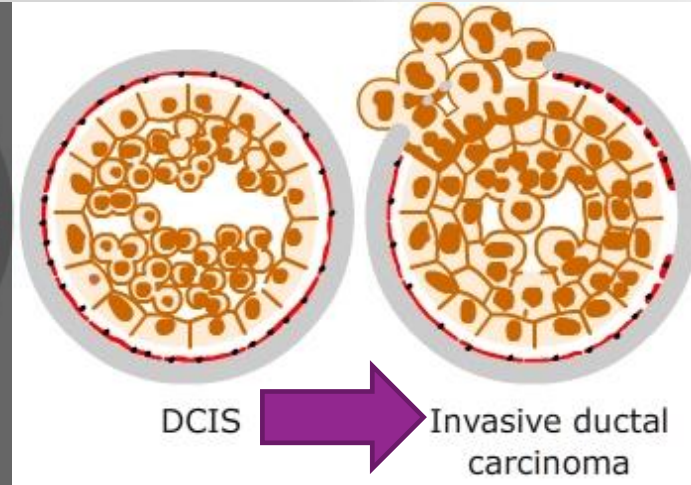


Drosophila melanogaster embryo
Light sheet microscopy
R. Tomer et al. Nat. Methods **9**, 755 (2012)

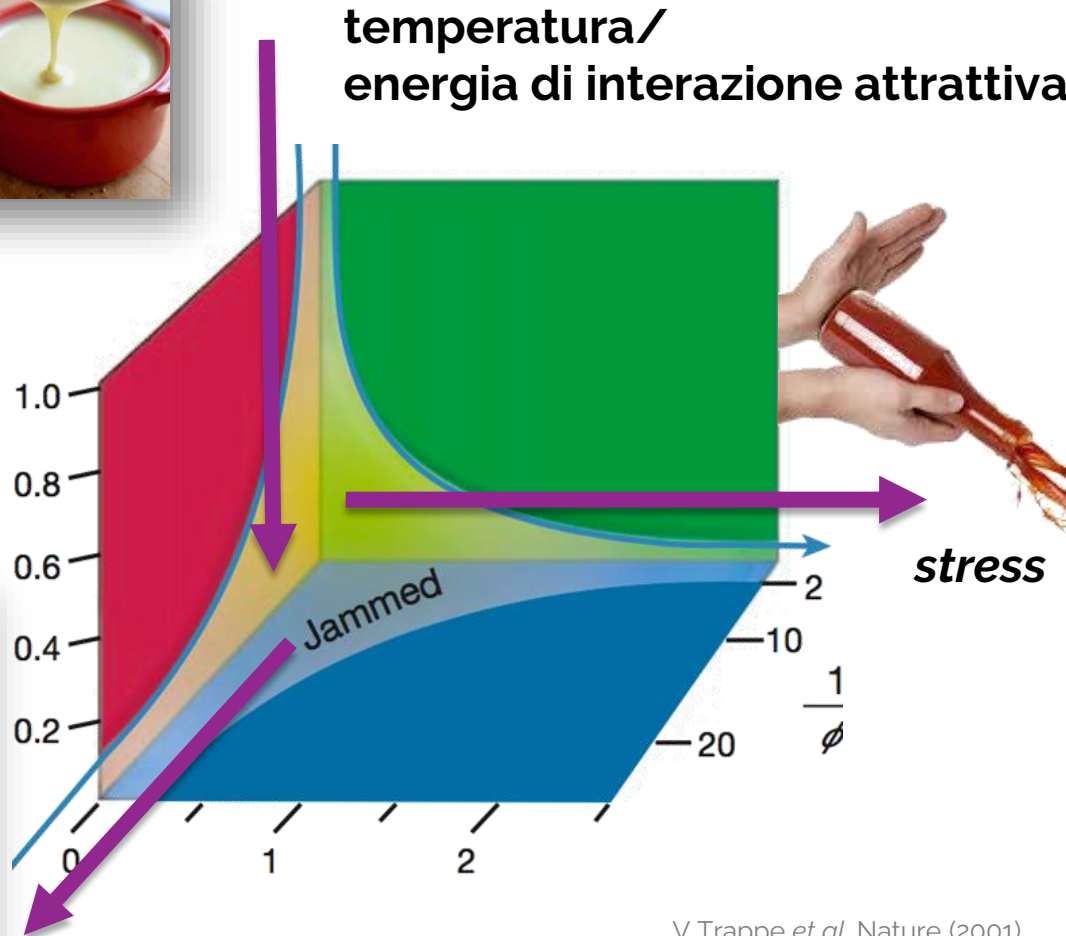
Carcinoma duttale *in situ*



Carcinoma duttale invasivo



Jamming e unjamming transitions



V Trappe *et al.* Nature (2001)

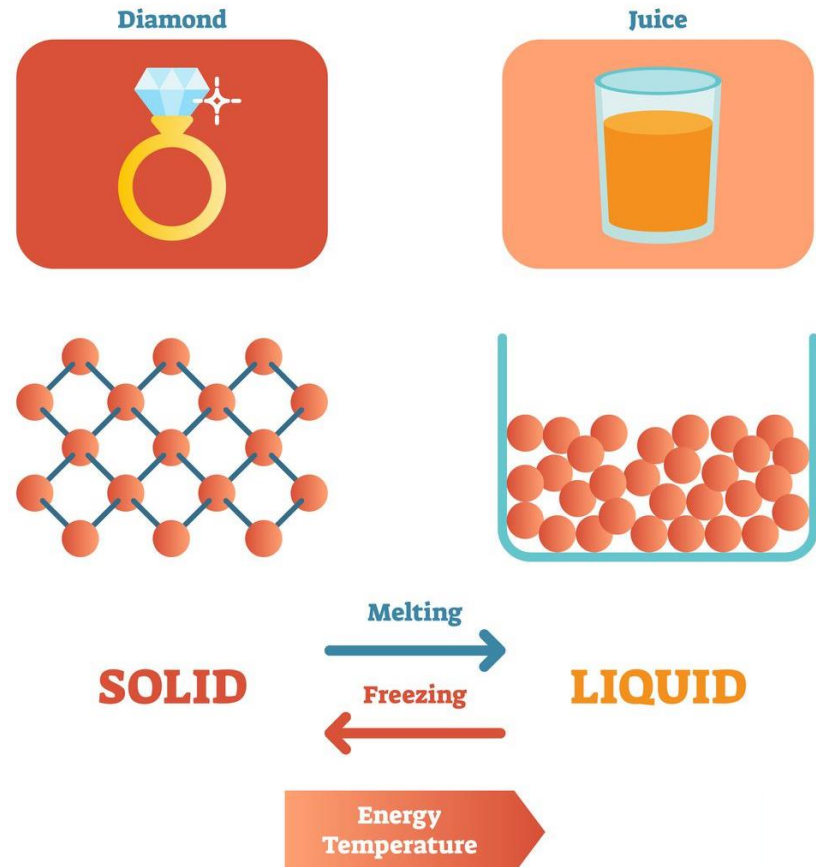


...un altro ricordo di infanzia...

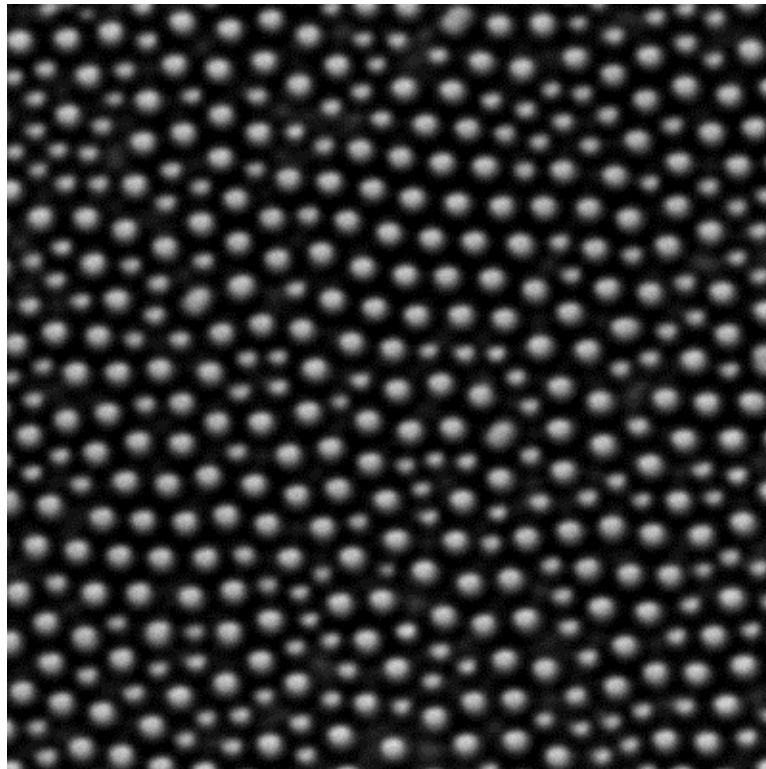


UNIVERSITÀ
DEGLI STUDI
DI MILANO

States of Matter

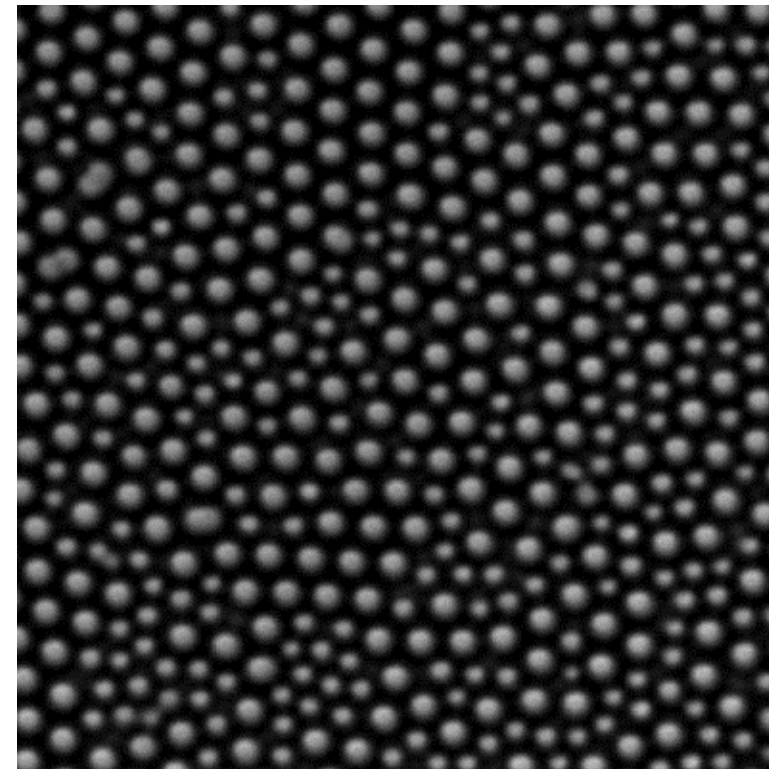


Transizioni solido-liquido in sistemi amorfi



BF microscopy
Duration: 30 min
Image size: 60 μm

$\phi = 71\%$



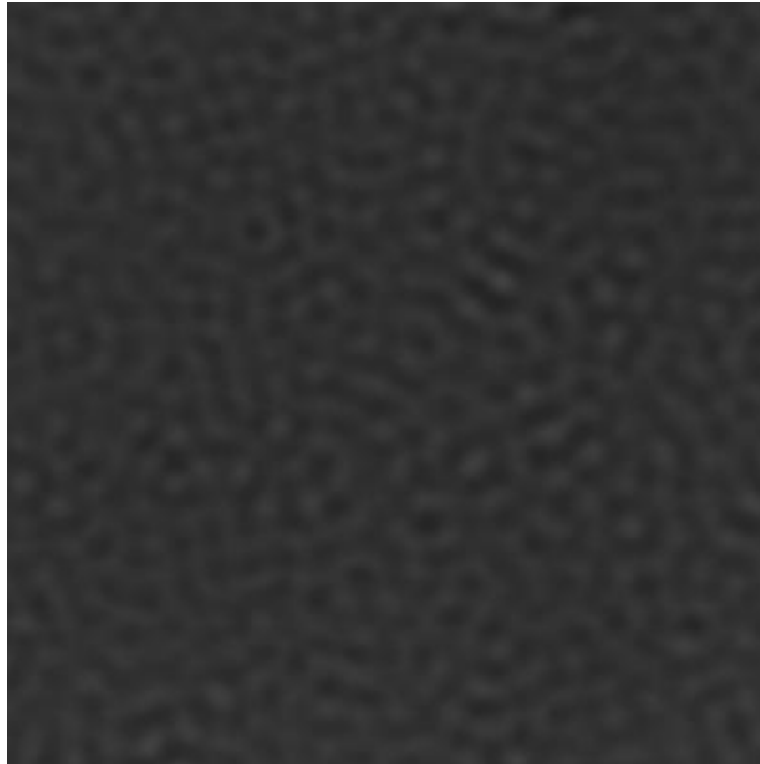
$\phi = 79\%$

R Pastore *et al.*, J. Chem. Phys. **156**, 164906 (2022)



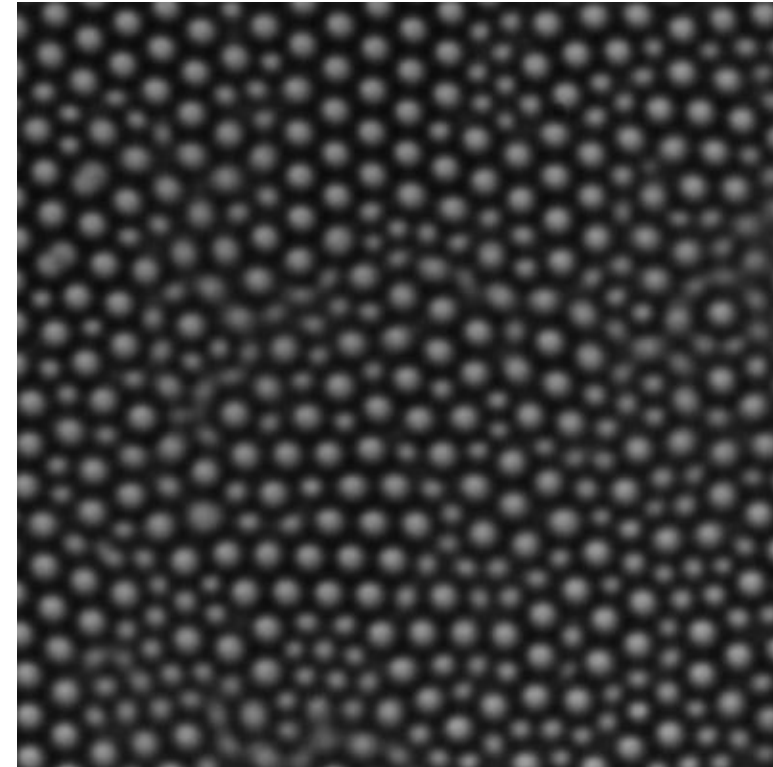
UNIVERSITÀ
DEGLI STUDI
DI MILANO

Transizioni solido-liquido in sistemi amorfi



$\phi = 71\%$

Intensità media



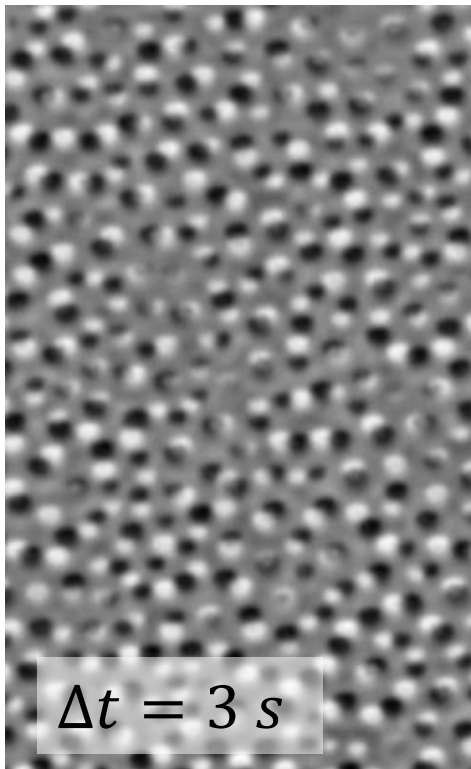
$\phi = 79\%$

R Pastore *et al.*, J. Chem. Phys. **156**, 164906 (2022)



UNIVERSITÀ
DEGLI STUDI
DI MILANO

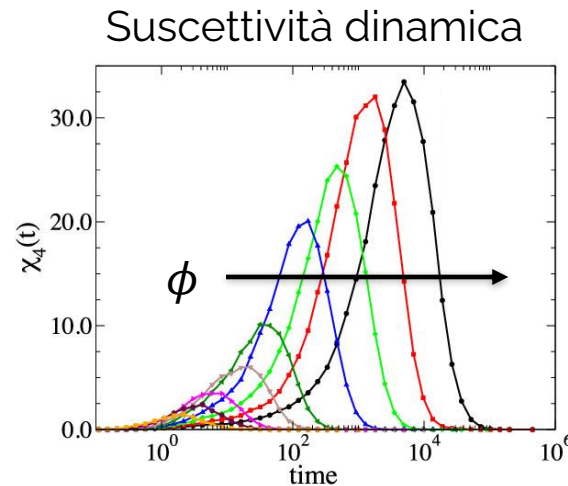
Transizioni solido-liquido in sistemi amorfì: eterogeneità dinamica



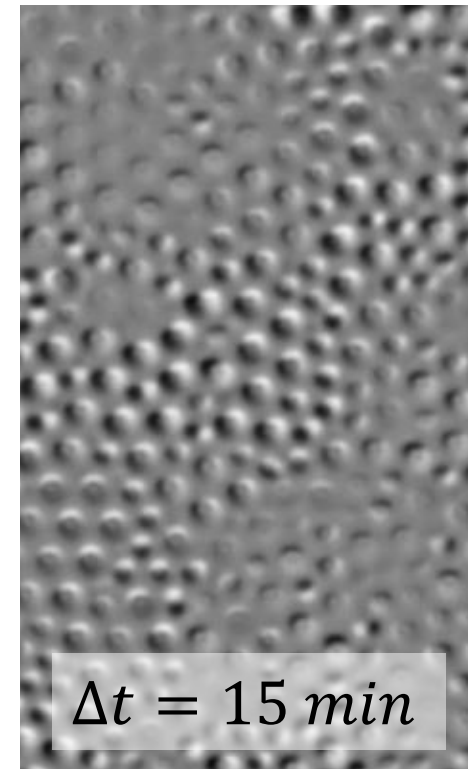
$\Delta t = 3\text{ s}$

$\phi = 71\%$

Mappe di attività
(differenze di immagini)



La posizione del picco di χ_4 corrisponde al tempo di rilassamento, la sua altezza al numero medio di particelle coinvolte in un riarrangiamento collettivo.



$\Delta t = 15\text{ min}$

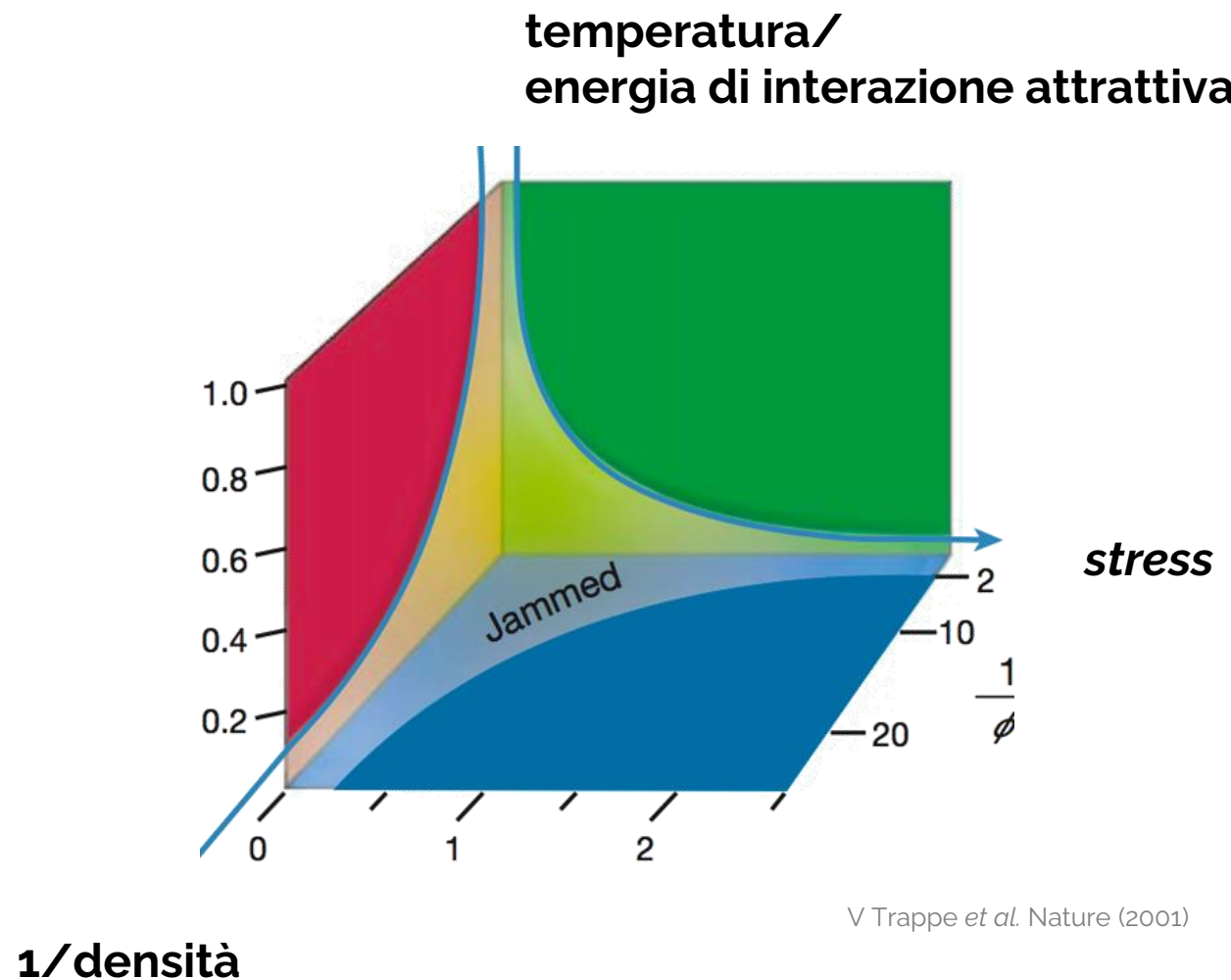
$\phi = 79\%$

R Pastore *et al.*, J. Chem. Phys. **156**, 164906 (2022)



UNIVERSITÀ
DEGLI STUDI
DI MILANO

Jamming e unjamming transitions

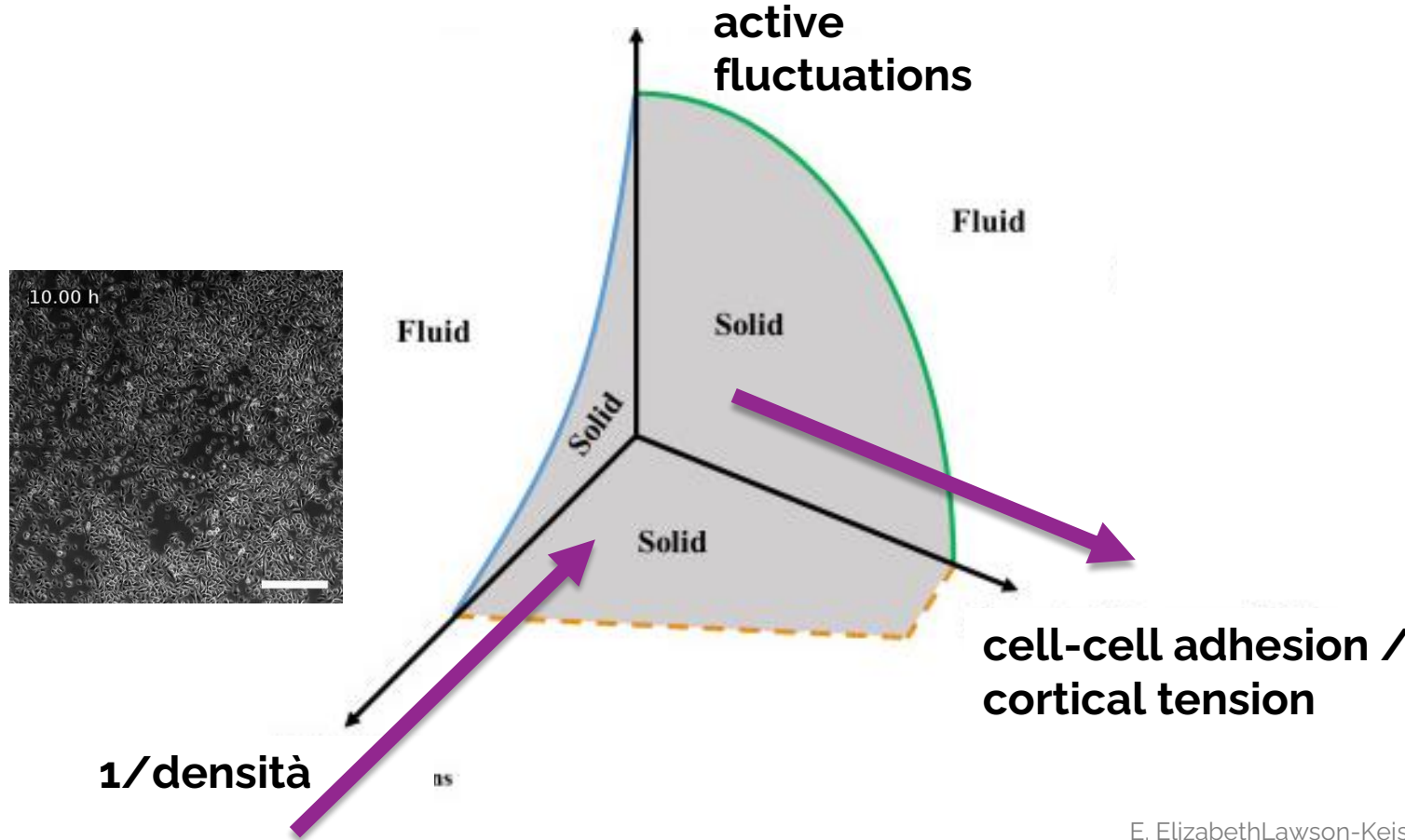


V Trappe *et al.* Nature (2001)



UNIVERSITÀ
DEGLI STUDI
DI MILANO

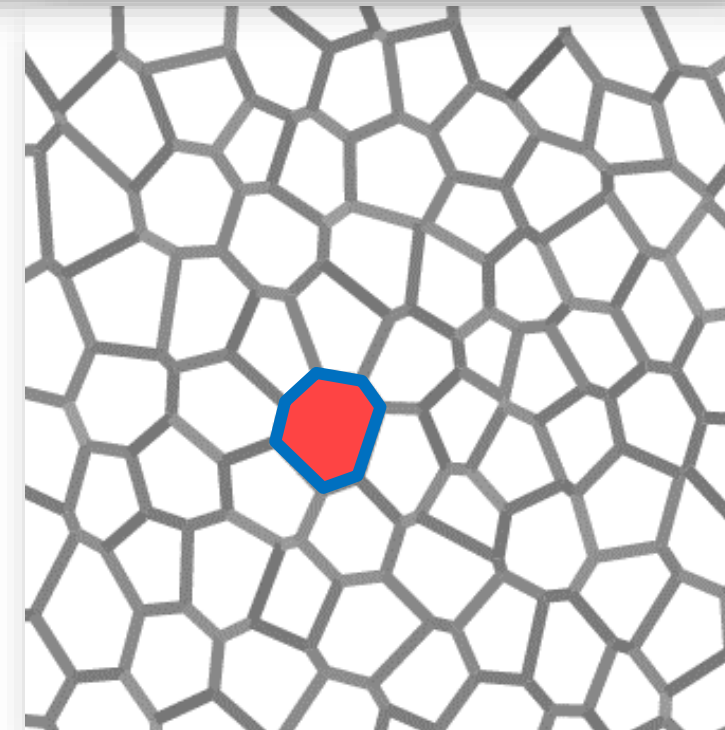
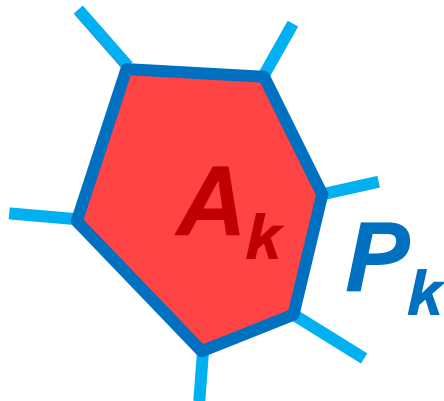
Jamming e unjamming transitions nei tessuti biologici



E. ElizabethLawson-Keister et al.
Current Opinion in Cell biology (2021)

Jamming transition a densità costante: vertex model

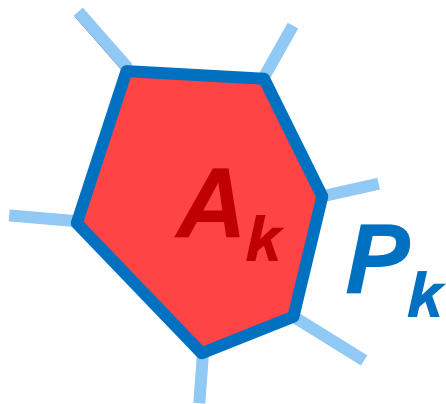
$$E = \sum_k [K_A(A_k - A_0)^2 + K_P(P_k - P_0)^2]$$



ML Manning et al., *PNAS* **107**, 12517-12522 (2010)
D Bi et al, *Nature Physics* **11**, 1074–1079 (2015)

Jamming transition a densità costante: vertex model

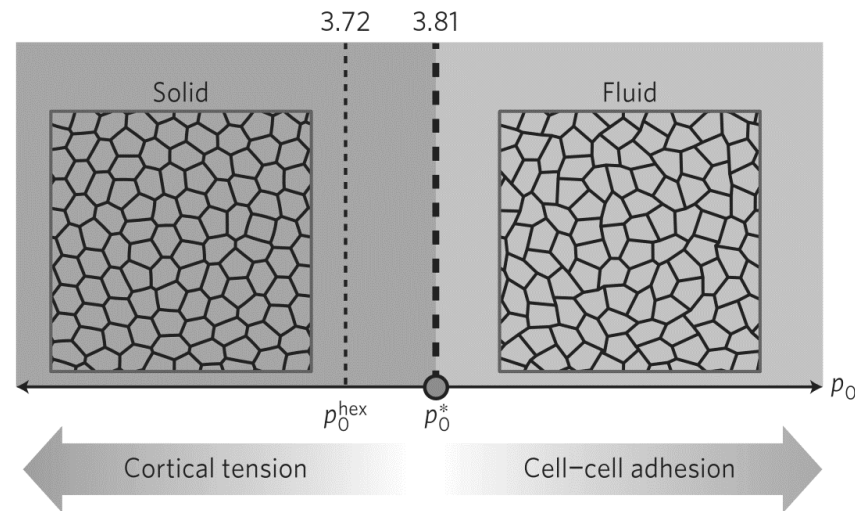
$$E = \sum_k [K_A(A_k - A_0)^2 + K_P(P_k - P_0)^2]$$



$$p_0 = \frac{P_0}{\sqrt{A_0}}$$

Shape factor

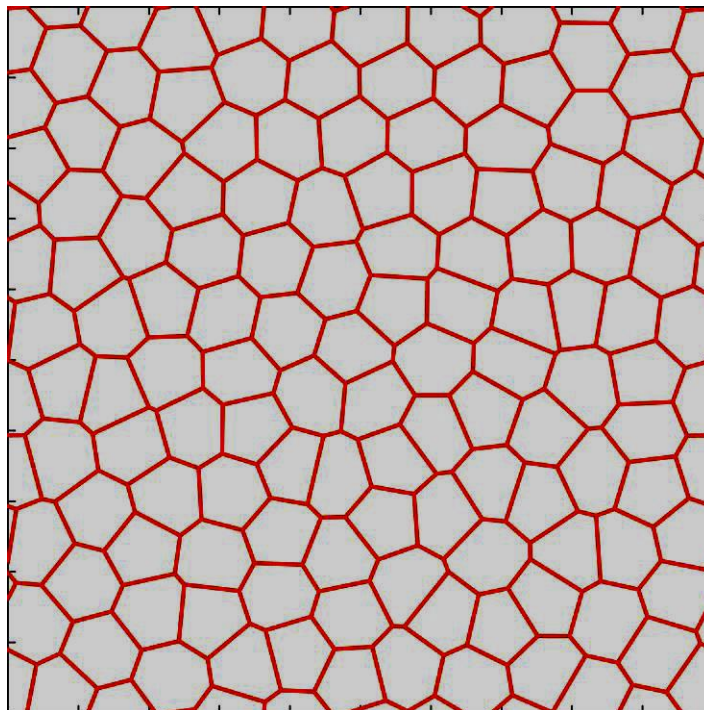
Termine di bulk **Termine interfacciale
(tensione corticale vs adesione cellulare)**



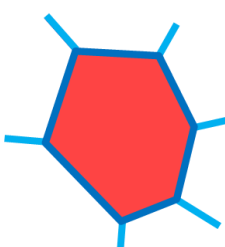
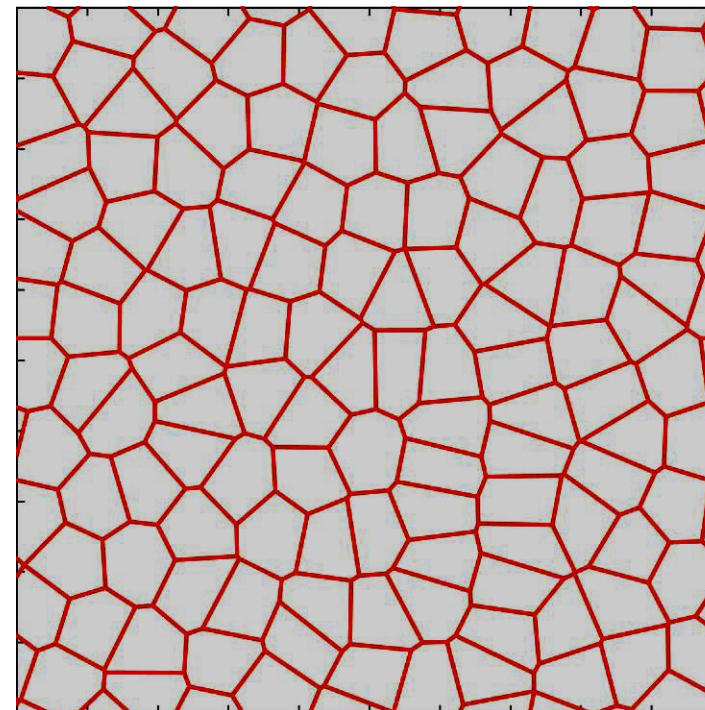
D Bi et al, *Nature Physics* 11, 1074–1079 (2015)

Una transizione «scritta nella forma»

Solid



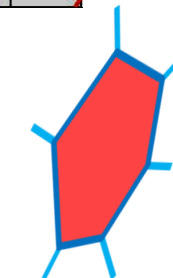
Fluid



Cortical tension

$$p_0 = \frac{P_0}{\sqrt{A_0}}$$

Cell-cell adhesion



D Bi et al., Phys. Rev. X 6, 021011 (2016)

i nostri esperimenti



UNIVERSITÀ
DEGLI STUDI
DI MILANO

Unjamming «endocitico»

RAB5A

- È un importante regolatore della attività endocitica della cellula (**internalizzazione di fluidi / recycling della membrana**)
- E' spesso sfruttato da alcuni **tumori epiteliali** particolarmente aggressivi per promuovere la loro disseminazione

MCF10A cells

CTRL

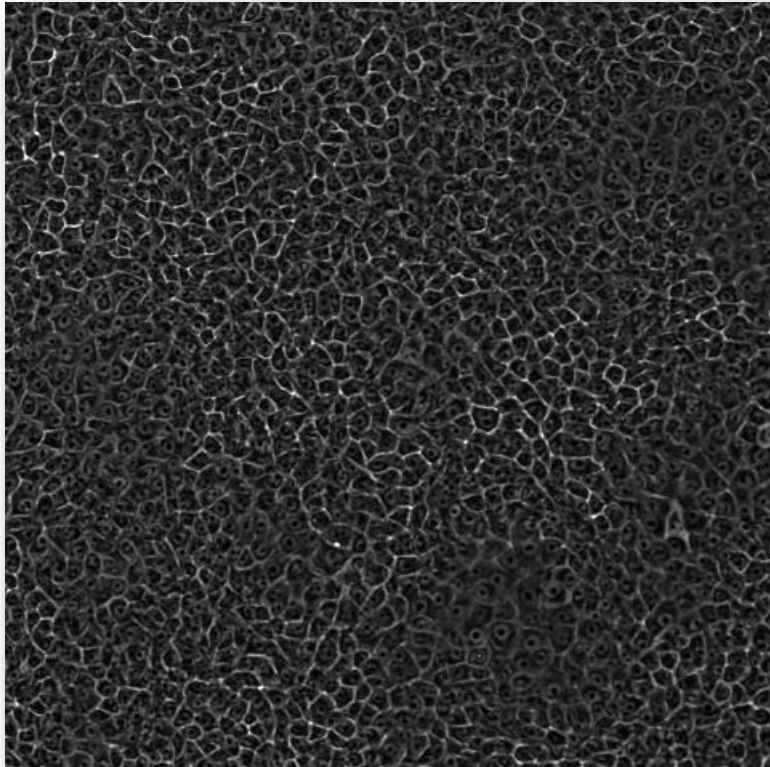
RAB5A

PC microscopy
Duration: 24 h
Image size: 1.3 mm



UNIVERSITÀ
DEGLI STUDI
DI MILANO

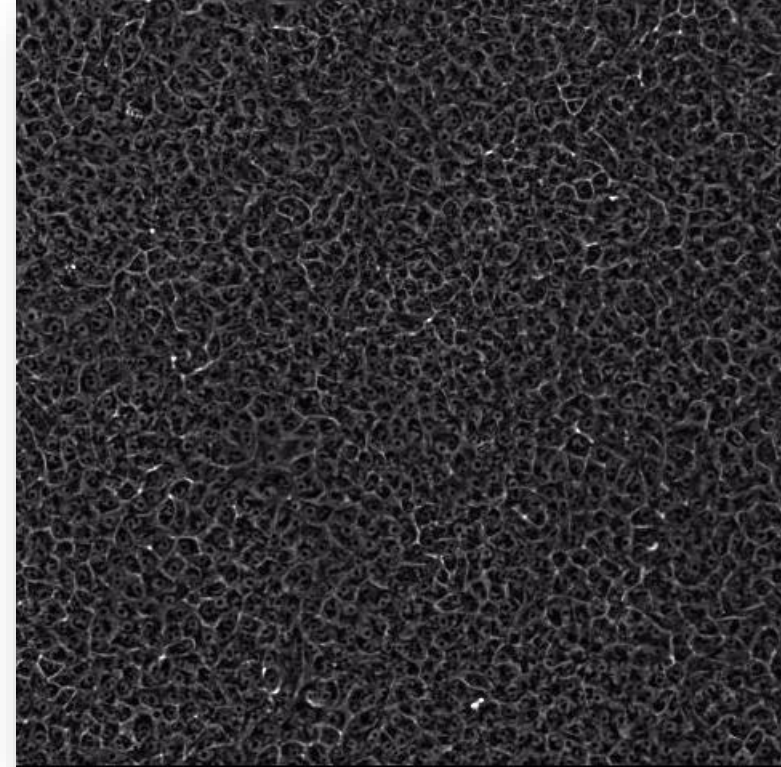
Unjamming «endocitico»



MCF10A cells

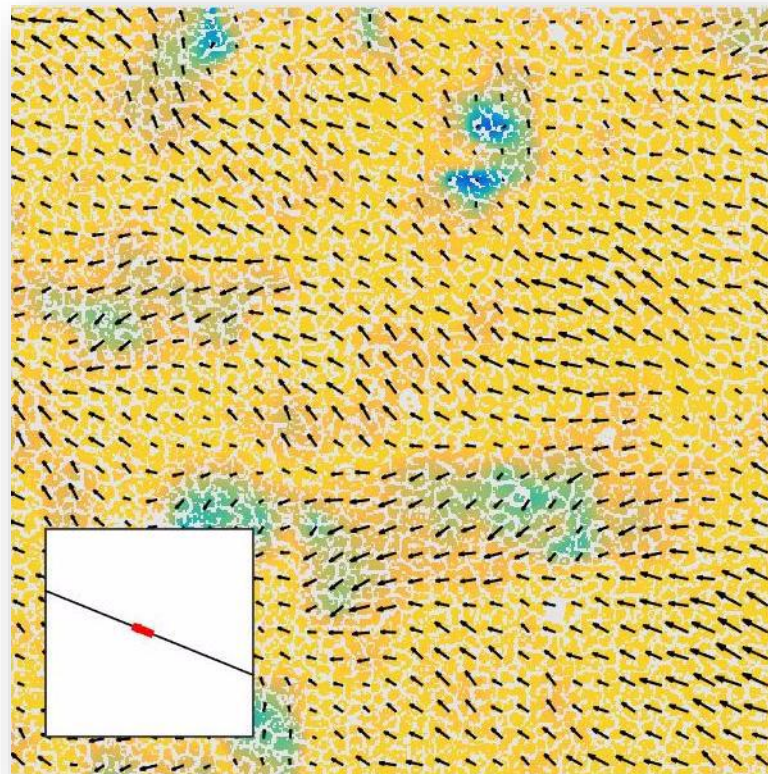
PC microscopy
Duration: 24 h
Image size: 1.3 mm

CTRL



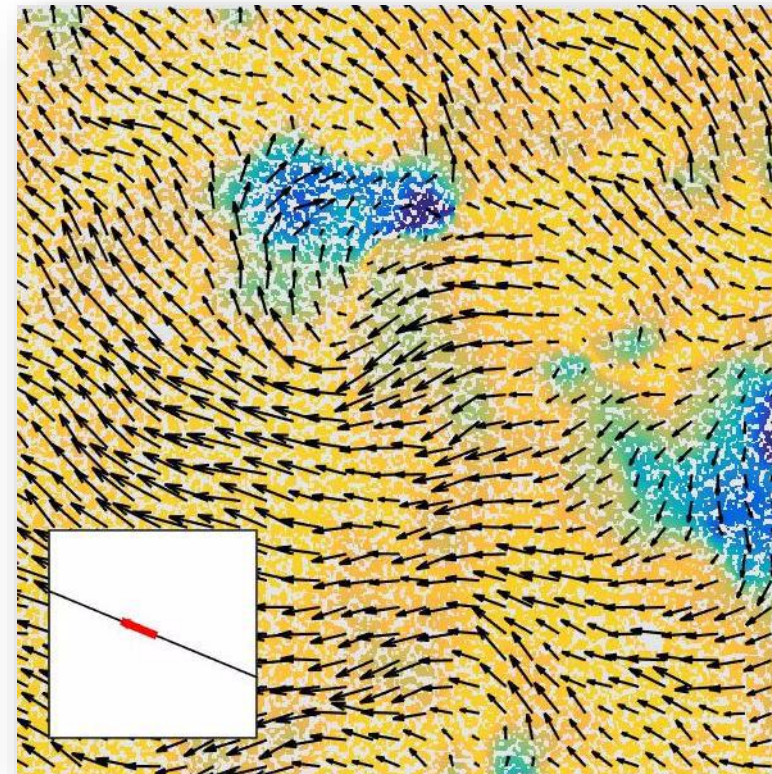
RAB5A

Unjamming «endocitico»



CTRL

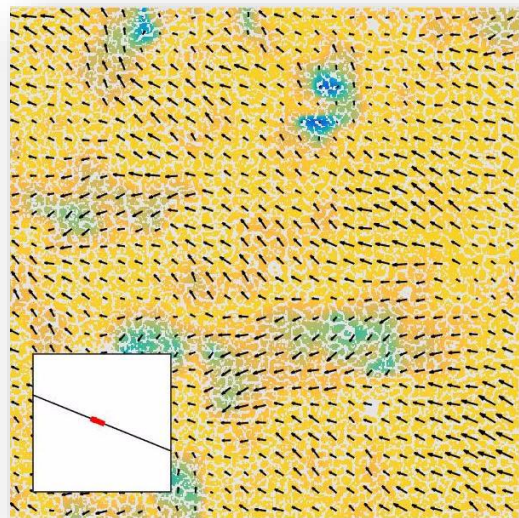
PIV Maps
Duration: 24 h
Image size: 1.3 mm



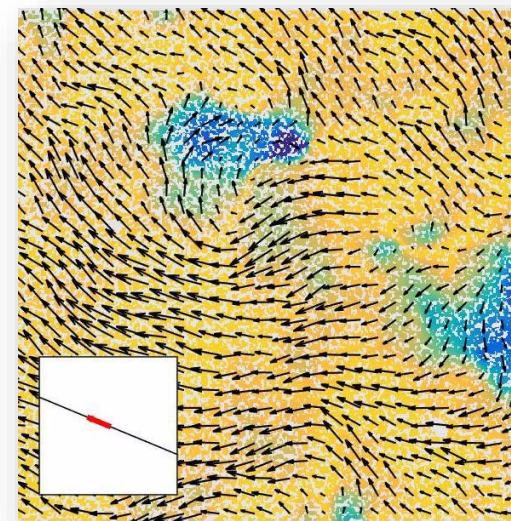
RAB5A

Unjamming «endocitico»

$$\cos(\theta - \theta_0)$$

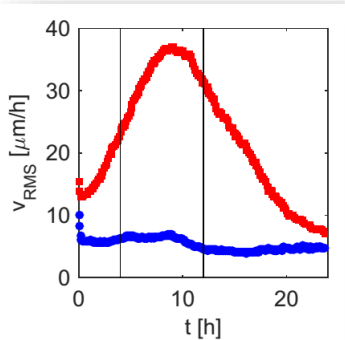


CTRL

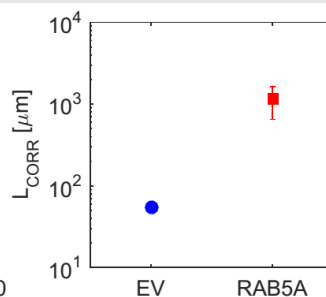
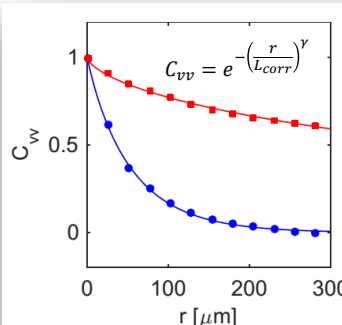


RAB5A

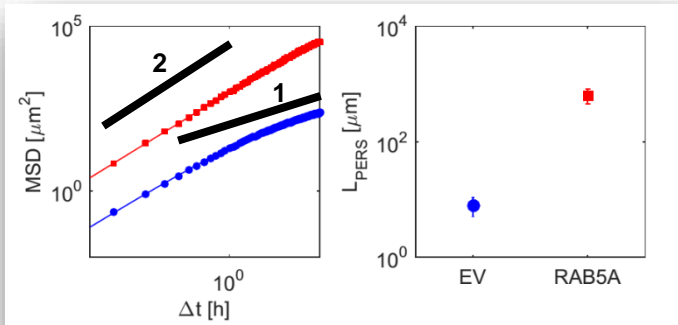
Velocità
di migrazione



Correlazione spaziale
di velocità

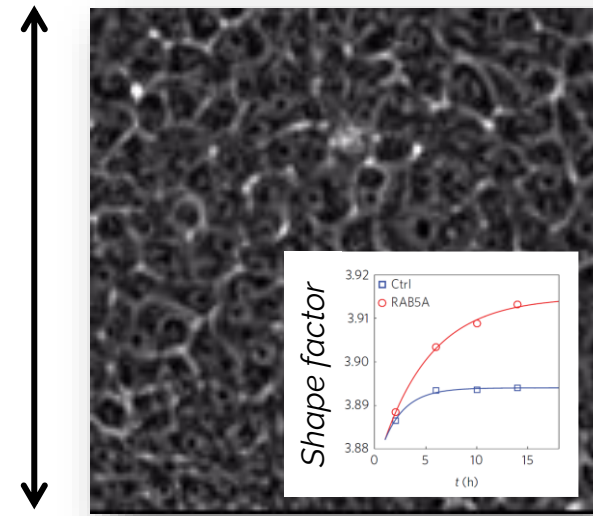


Persistenza del moto di
singola cellula

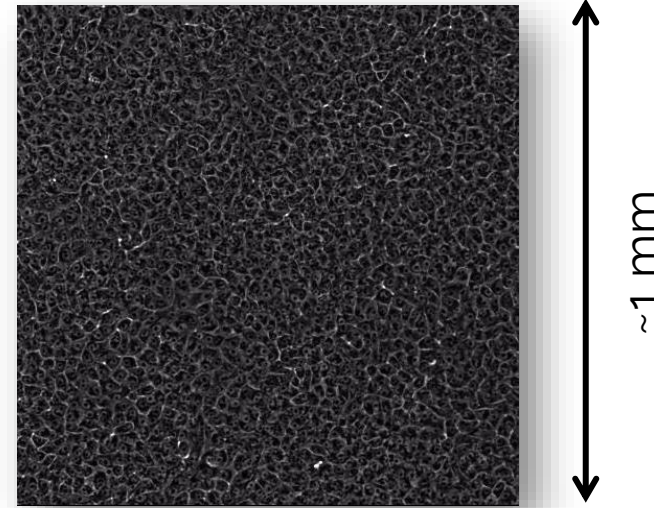


Unjamming «endocitico»

Localmente? È un fluido!

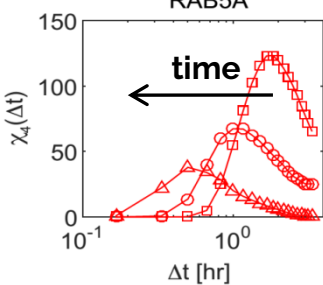
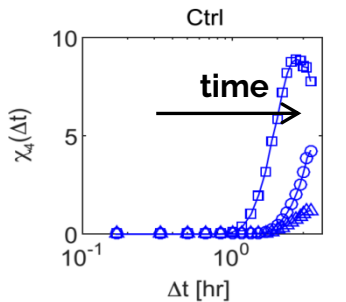


Globalmente? È uno stormo!

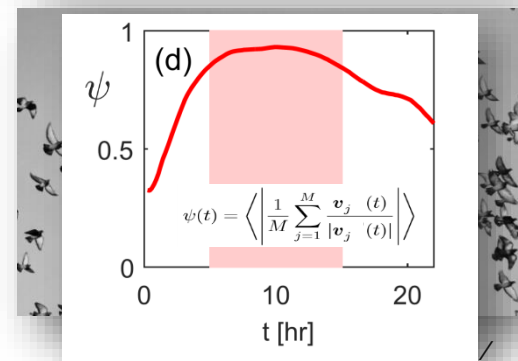
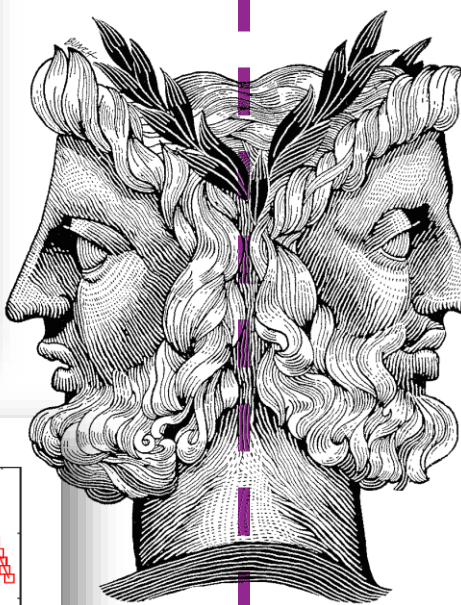


~100 mm

1 mm



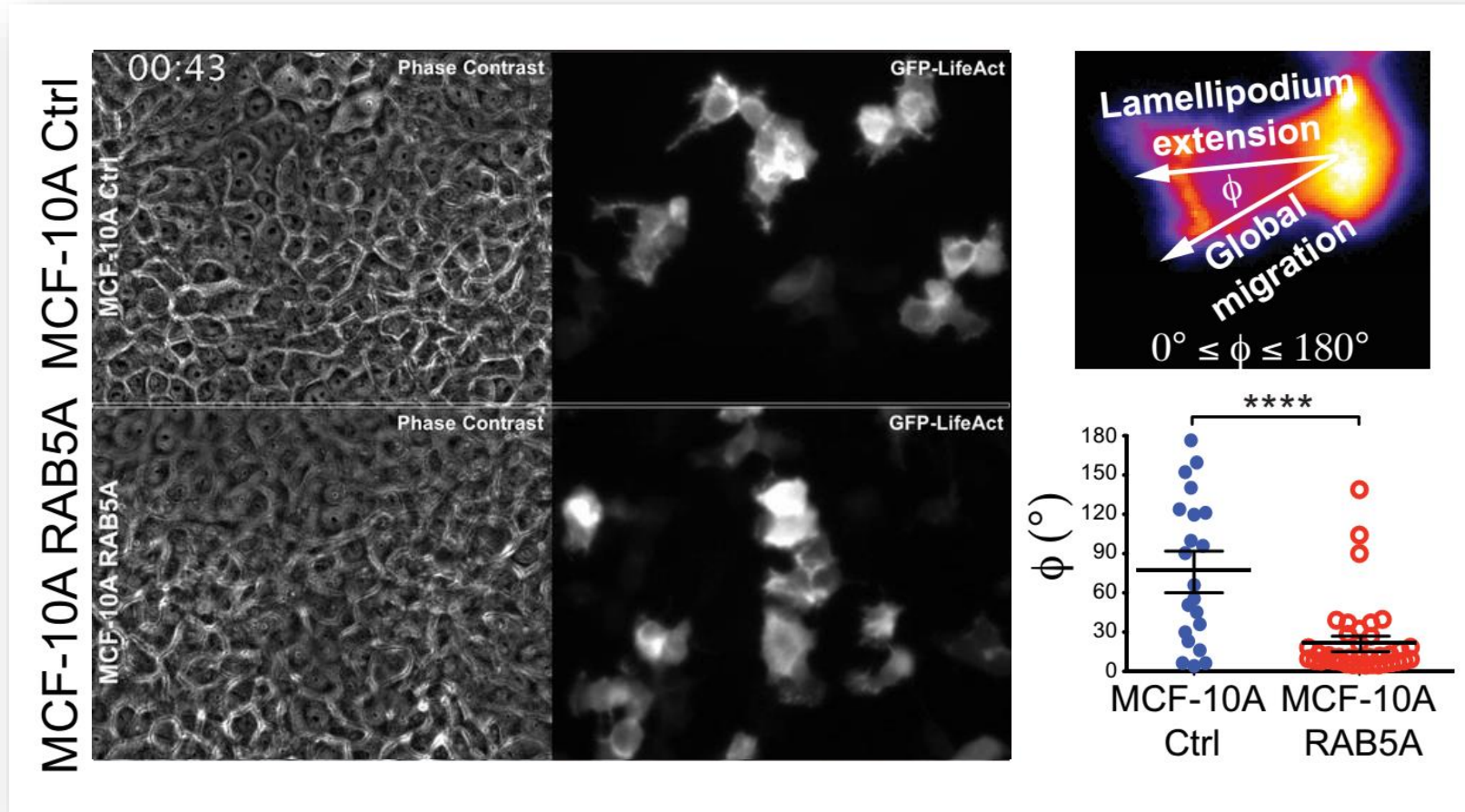
χ_4 : suscettività dinamica



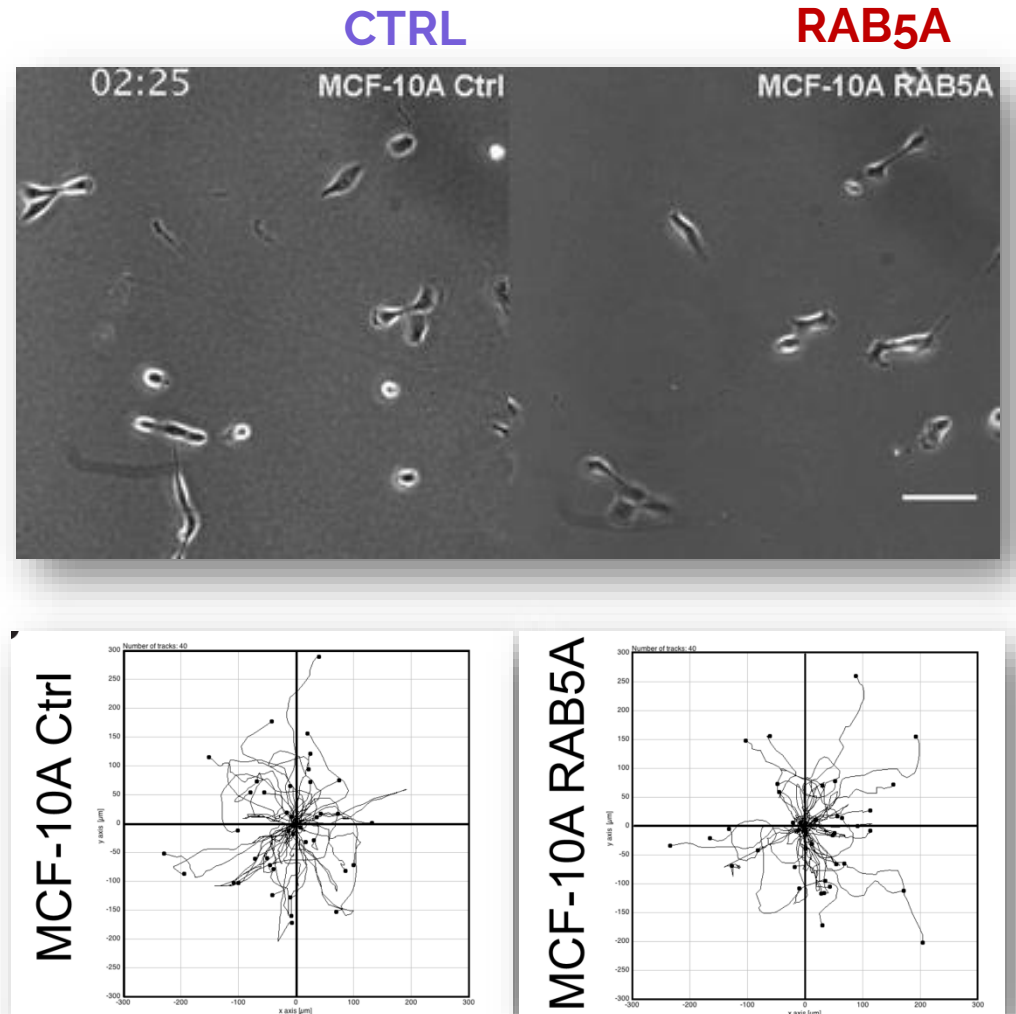
Parametro d'ordine polare

Globalmente? E' uno stormo!

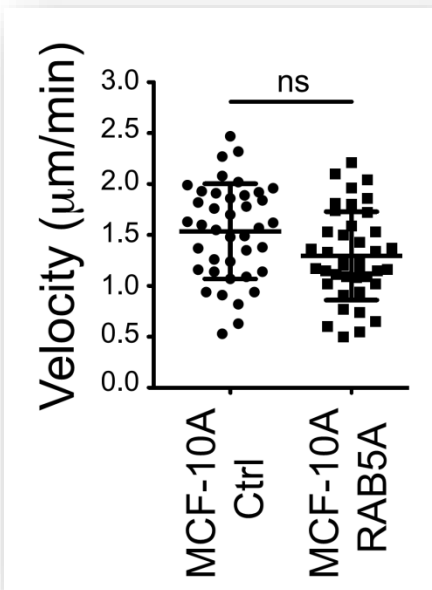
Estensione di persistenti *cryptic lamellipodia* orientati lungo la direzione della migrazione collettiva



...non una proprietà di singola cellula!



Traiettorie di singola cellula



Velocità media di migrazione

Un modello minimale...

Interazione cellula-cellula

$$E = \sum_k [K_A(A_k - A_0)^2 + K_P(P_k - P_0)^2]$$

+

Motilità cellulare e *self-propulsion*

$$\frac{d\mathbf{r}_k}{dt} = \mu \mathbf{F}_k + v_0 \hat{\mathbf{n}}_k$$

$$\mathbf{F}_k = -\nabla_{\mathbf{r}_k} E$$

+

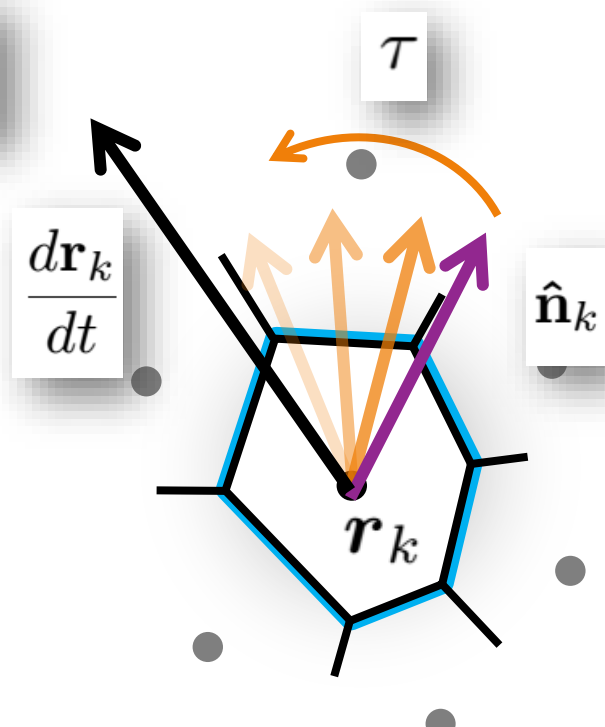
Dinamica di allineamento

$$\partial_t \theta_k = \frac{1}{\tau} \sin(\theta_k - \phi_k) + \eta_k$$

Direzione della velocità
di *self-propulsion*

Direzione della
risultante delle forze

Rumore

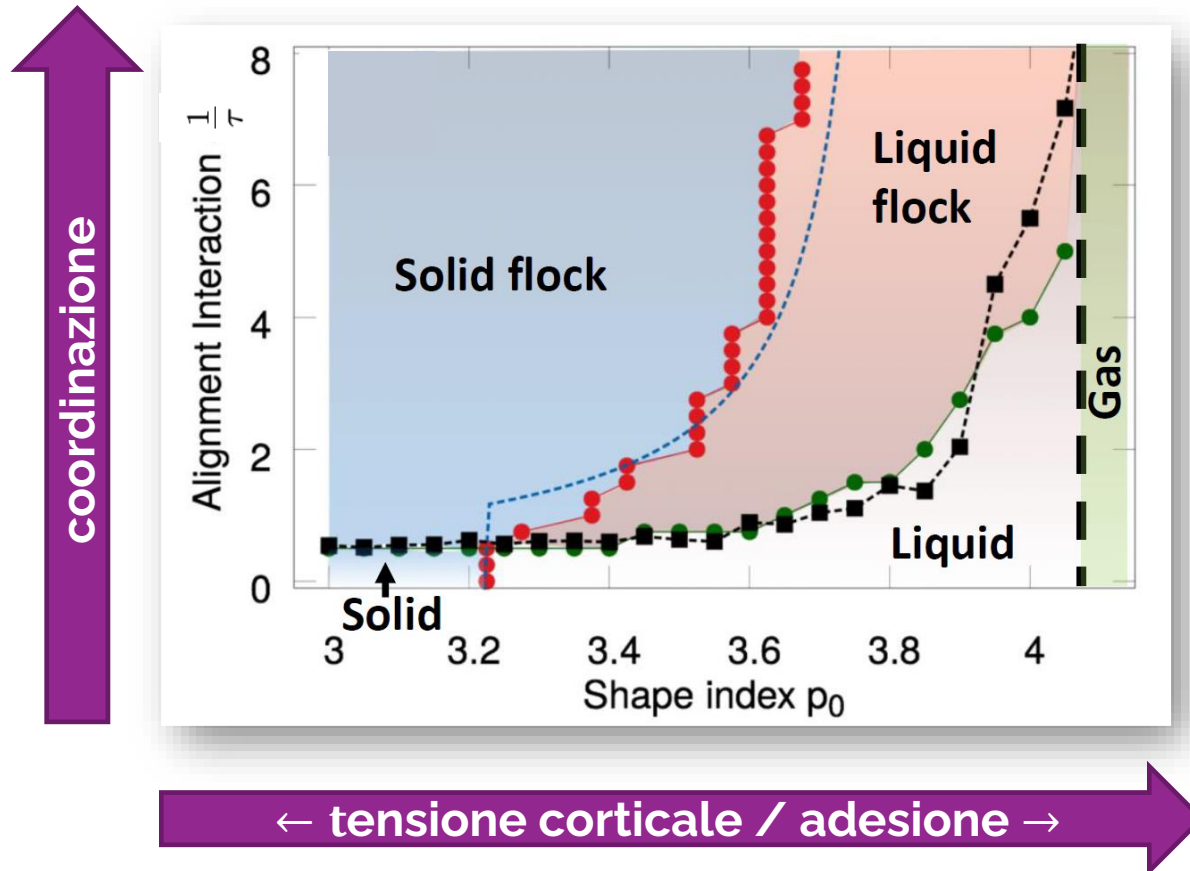


D Bi et al., *Phys. Rev. X* **6**, 021011 (2016)

B Szabo. et al. *Phys Rev E* **74**, 061908 (2006)

F Giavazzi, M Paoluzzi et al. *Soft Matter* **14**, 3471 (2018)

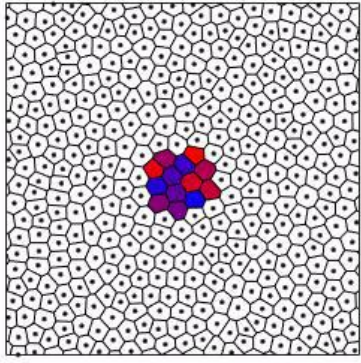
Un modello minimale...



F Giavazzi, M Paoluzzi *et al.* *Soft Matter* **14**, 3471 (2018)

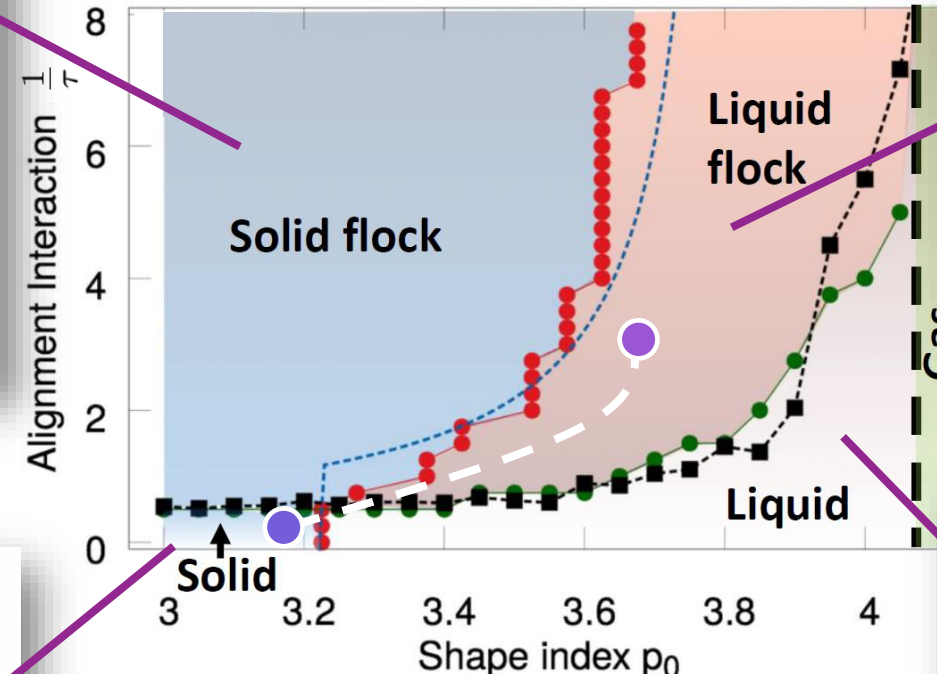
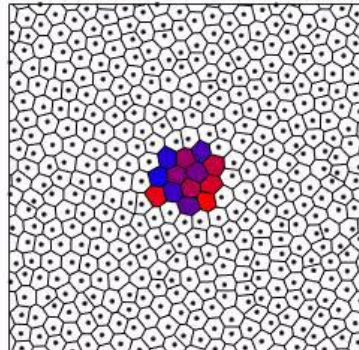
Un modello minimale...

SOLID FLOCK

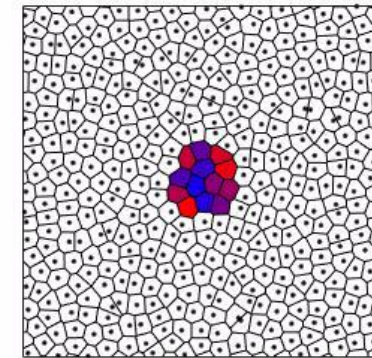


coore

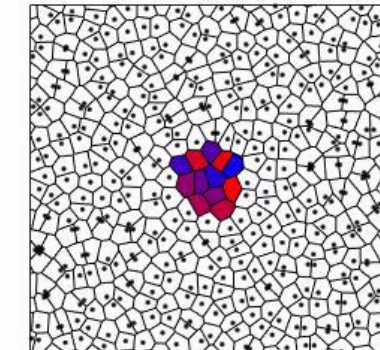
SOLID



LIQUID FLOCK



LIQUID



F Giavazzi, M Paoluzzi *et al.* Soft Matter **14**, 3471 (2018)

Endocytic reawakening of motility in jammed epithelia

Chiara Malinverno^{1†}, Salvatore Corallino^{1†}, Fabio Giavazzi^{2*}, Martin Bergert³, Qingsen Li¹, Marco Leoni⁴, Andrea Disanza¹, Emanuela Frittoli¹, Amanda Oldani¹, Emanuele Martini¹, Tobias Lendenmann³, Gianluca Deflorian¹, Galina V. Beznoussenko¹, Dimos Poulikakos³, Kok Haur Ong⁵, Marina Uroz^{6,7,8,9}, Xavier Trepat^{6,7,8,9}, Dario Parazzoli¹, Paolo Maiuri¹, Weimiao Yu⁵, Aldo Ferrari^{3*}, Roberto Cerbino^{2*} and Giorgio Scita^{1,10*}

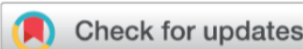


Soft Matter

PAPER

[View Article Online](#)

[View Journal](#) | [View Issue](#)



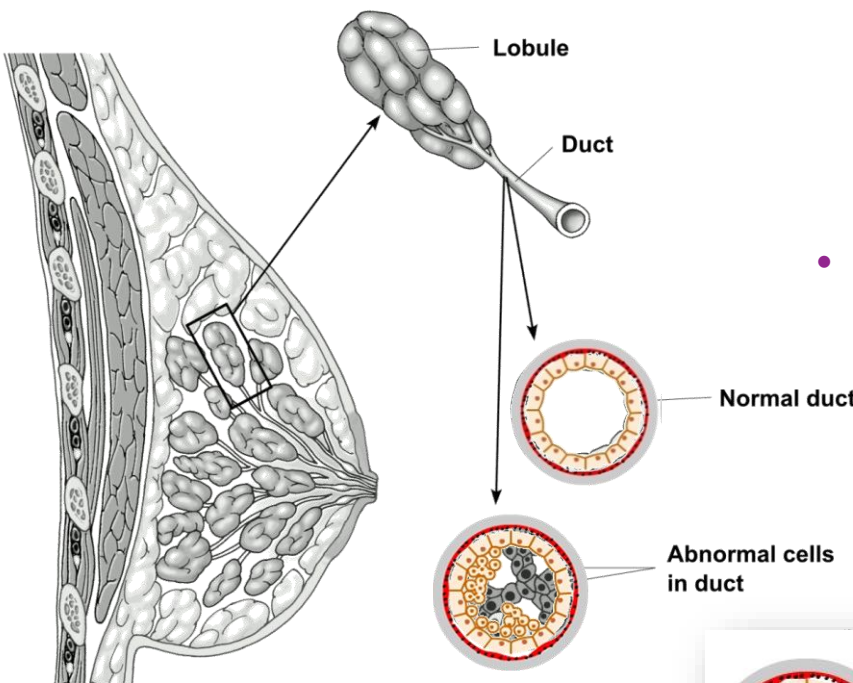
Cite this: *Soft Matter*, 2018,
14, 3471

Flocking transitions in confluent tissues†

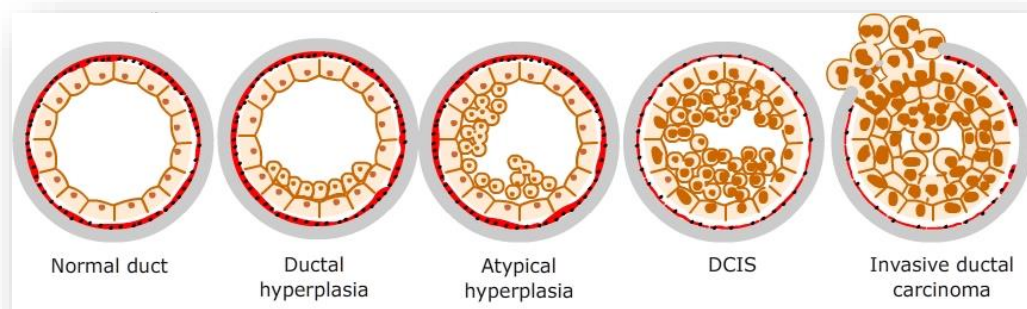
Fabio Giavazzi, ^{‡‡^a} Matteo Paoluzzi, ^{‡^b} Marta Macchi, ^a Dapeng Bi, ^c Giorgio Scita, ^{de} M. Lisa Manning, ^b Roberto Cerbino ^{*^a} and M. Cristina Marchetti ^{*^b}



UNIVERSITÀ
DEGLI STUDI
DI MILANO



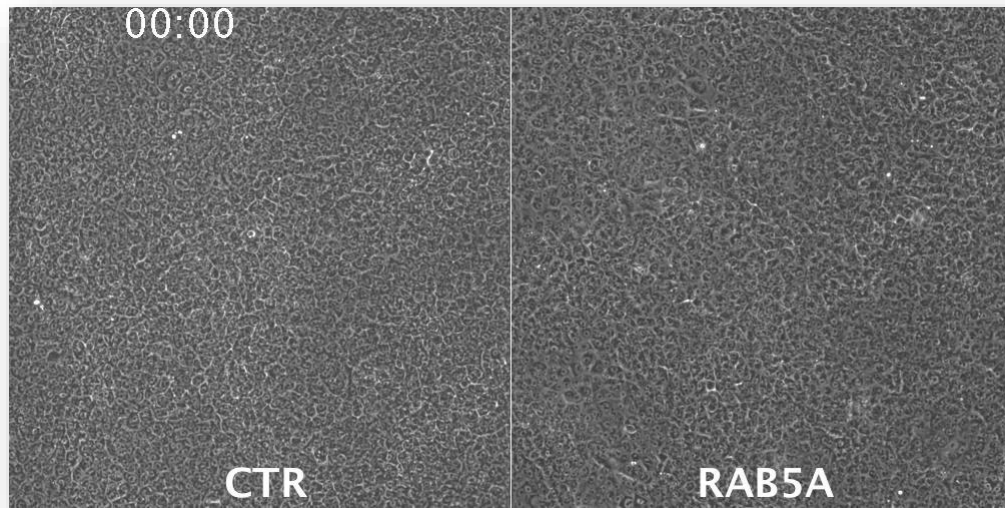
- Isogeniche alle MCF10A, **riproducono** *in vitro* **la progressione da** Carcinoma duttale in situ (**DCIS**) **a** carcinoma duttale invasivo (**IDC**)
- Durante la fase DCIS, **l'estremo confinamento e l'elevata densità** cellulare portano ad un notevole stress compressivo, **sopprimono la motilità cellulare** e tendono a ritardare o bloccare la progressione del tumore.



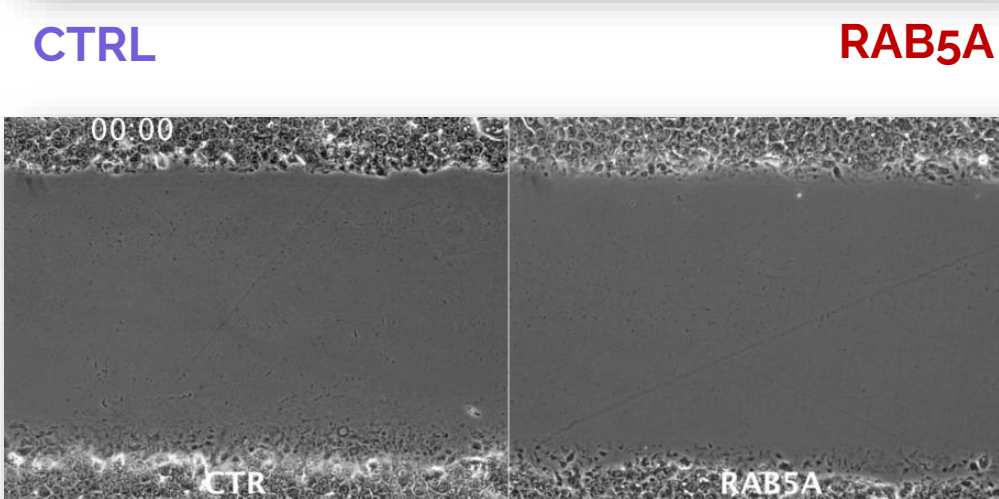
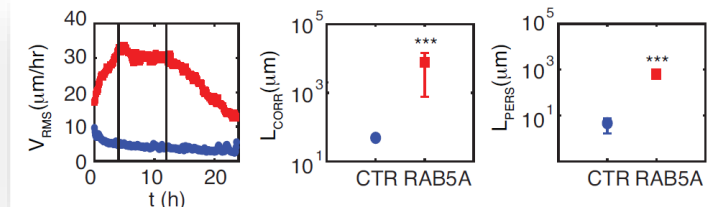
www.rnceu.com

Ductal Carcinoma In Situ

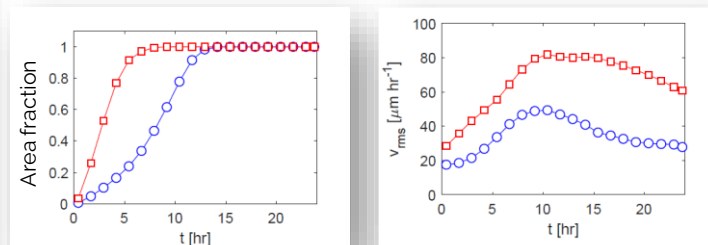
MCF10.DCIS.com in 2D



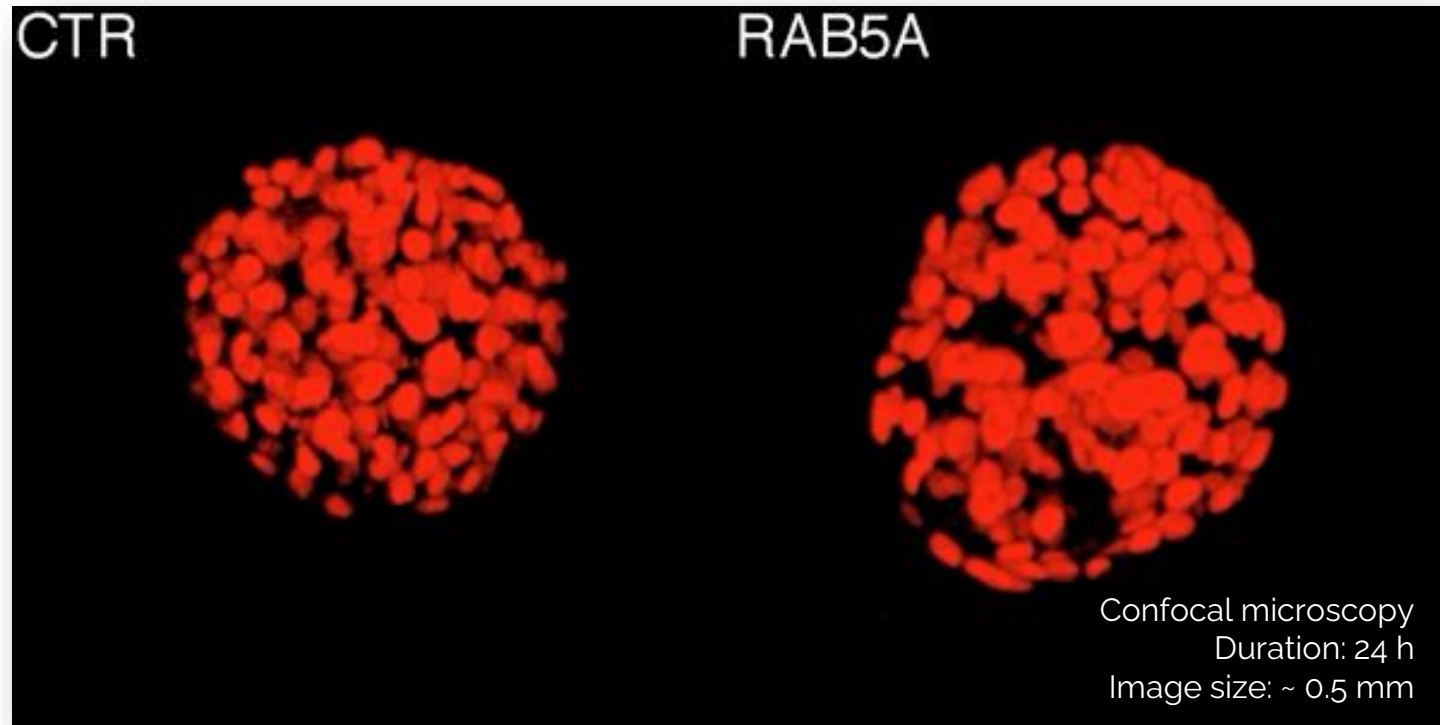
L'over-espressione di RAB5A causa *unjamming e flocking*



"*a wound that never heals*"

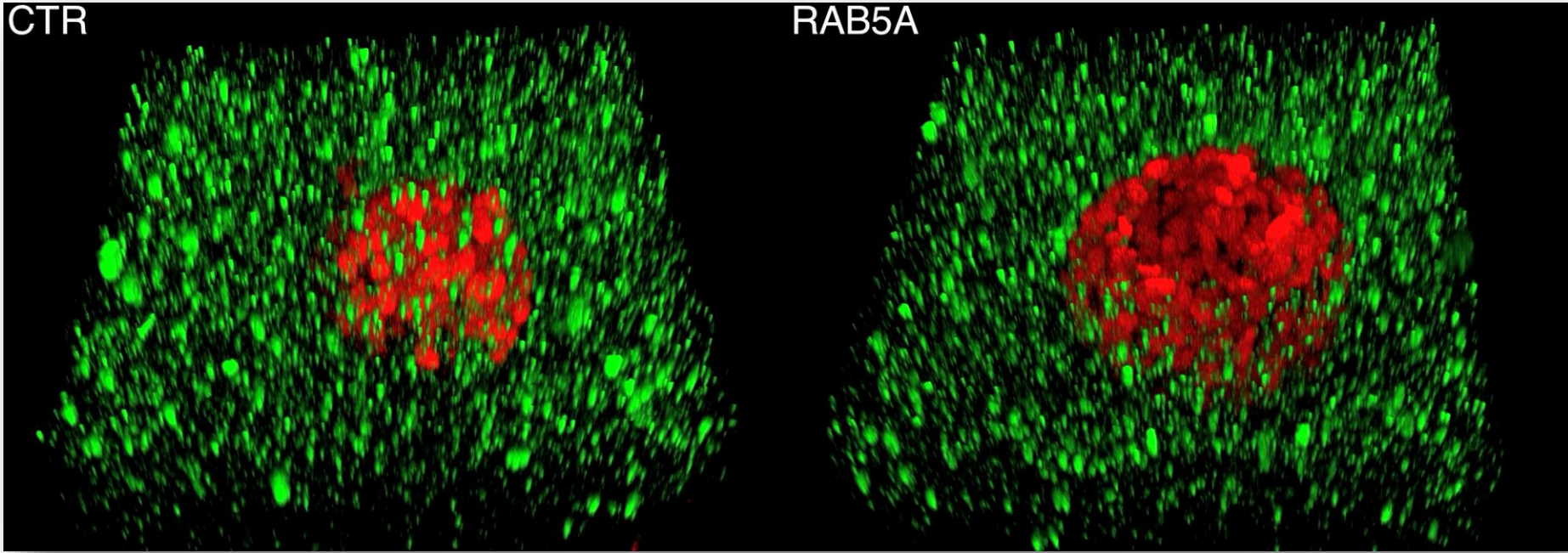


MCF10.DCIS.com in 3D



Abbiamo cresciuto aggregati tridimensionali (sferoidi) di cellule CTR and RAB5A, che sono stati poi impiantati in una matrice di collagene piuttosto rigida ($c = 6 \frac{mg}{ml}$, $E \approx 140 Pa$) per simulare una condizione di DCIS.

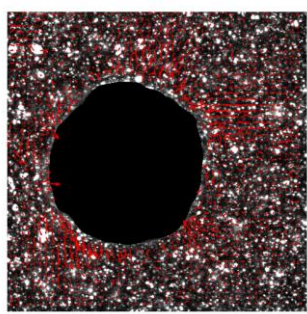
Fluctuation stress microscopy



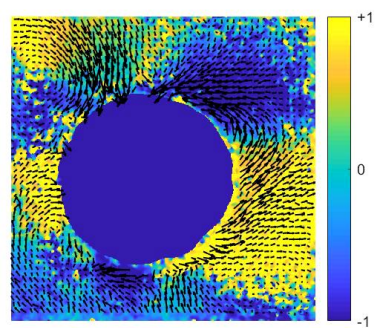
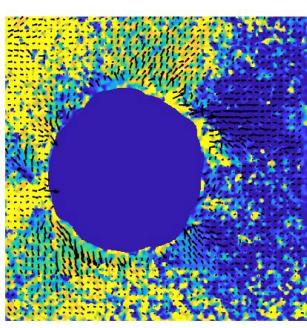
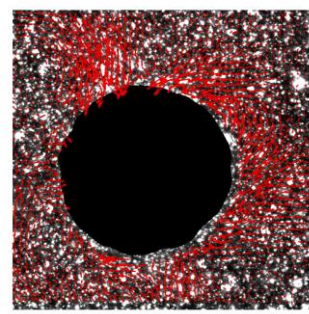
Per misurare le forze (stress) esercitate dagli sferoidi sulla matrice extracellulare abbiamo disperso dei traccianti fluorescenti all'interno della matrice stessa, in modo da poterne visualizzare la deformazione.

Fluctuation stress microscopy

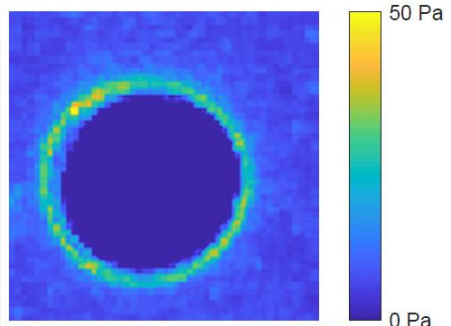
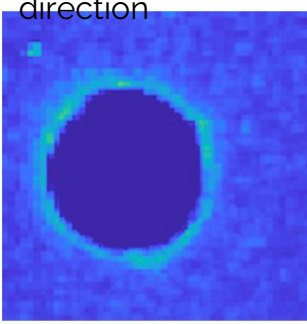
CTR



RAB5A



Cosine of the angle with the horizontal direction



Optical flow
velocimetry

$$\rightarrow \mathbf{v}(\mathbf{x}, t)$$

Funzione di correlazione della derivata spaziale della velocità

$$C_{ij}(\mathbf{x}, t) = \langle \partial_i v_j(\mathbf{x}, t + t_0) \partial_i v_j(\mathbf{x}, t_0) \rangle$$

Deformazione quadratica media

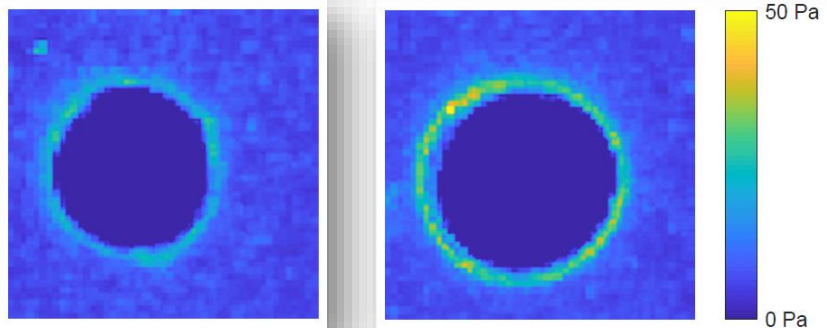
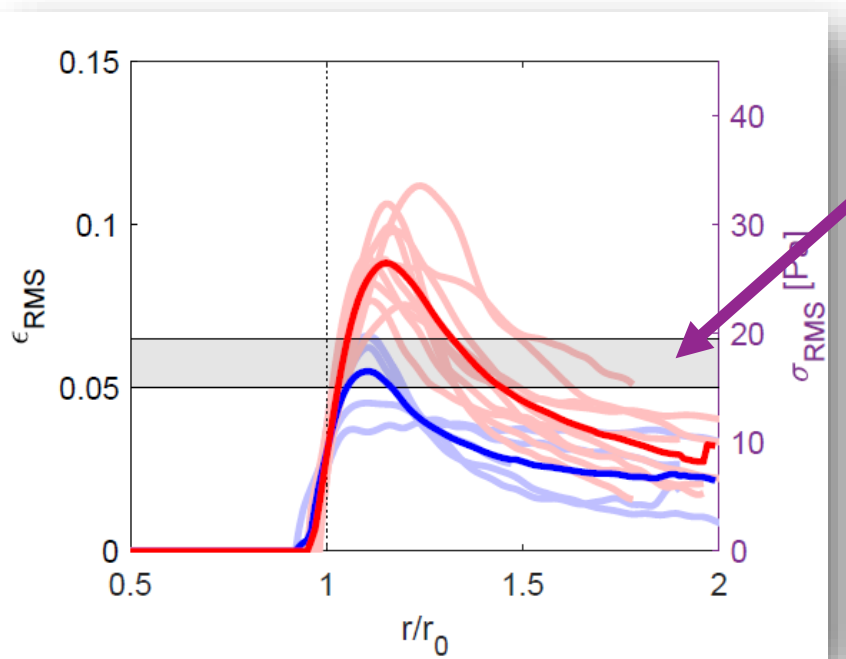
$$\langle (\Delta \epsilon_{ii})^2(\mathbf{x}, \tau) \rangle = \lim_{\tau \rightarrow \infty} 2 \int_0^\tau (\tau - |t|) C_{ii}(\mathbf{x}, t) dt$$

Kubo, R. The fluctuation-dissipation theorem. RPP **29**, 255 (1966)

Fluctuation stress microscopy

CTR

RAB5A

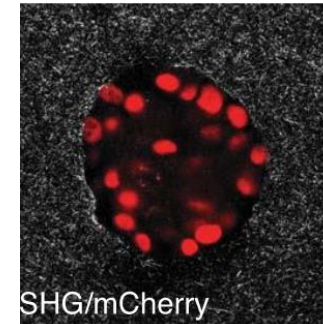


Soglia per la deformazione irreversibile del collagene

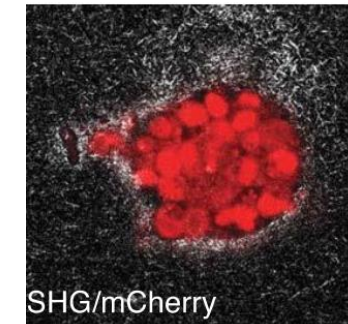
(da Vader, Kabla, Weitz, Mahadevan. PLoS One **4**, e5902, 2009)

Gli stress esercitati dagli sferoidi RAB5A sulla matrice extracellulare sono sistematicamente al di sopra della soglia, mentre questo non succede mai per CTR.

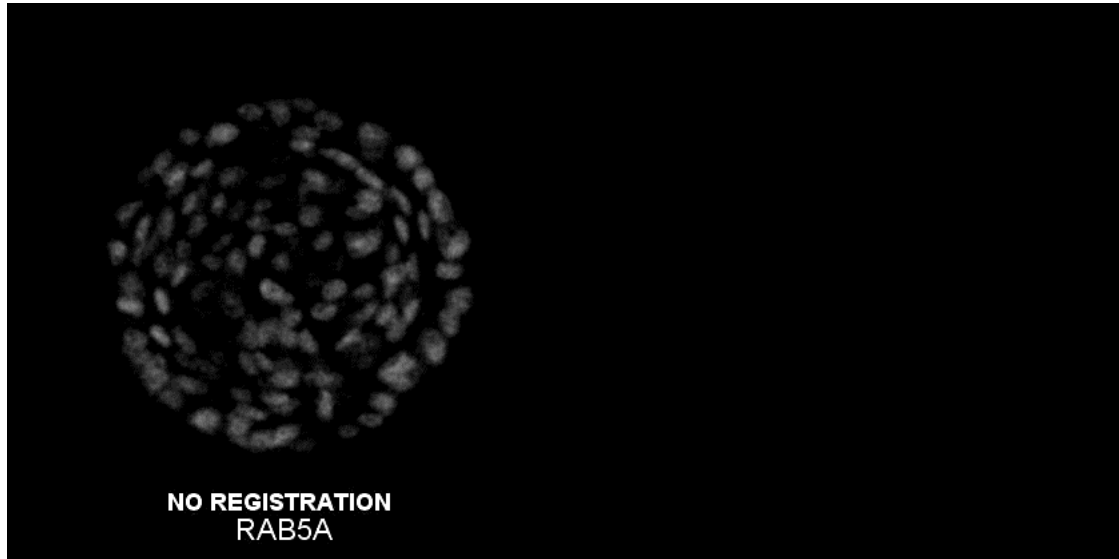
CTR



RAB5A



MCF10.DCIS.com in 3D

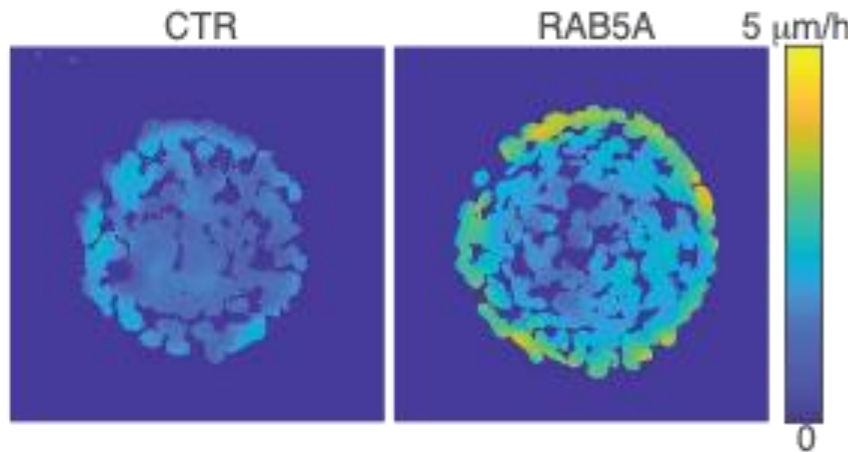


Gli sferoidi RAB5A presentano un marcato **gradiente radiale** di attività, **con una “crosta” estremamente fluida**.

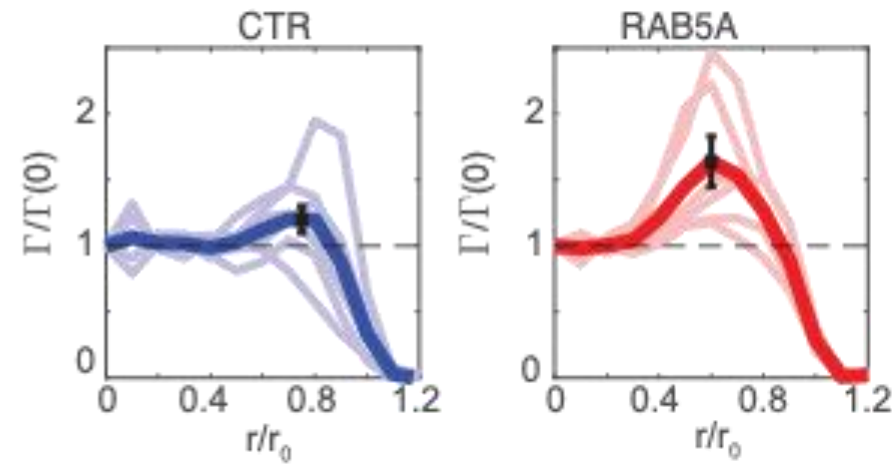
Confocal section

Duration: 24 h

Image size: ~ 0.5 mm



RMS velocity map in the co-rotating reference frame



Activity profile (rate of cell-cell rearrangement)

Unjamming e invasione collettiva

confinamento

invasive bud

Invasive strand



Sulla superficie degli sferoidi, la combinazione di **ampi stress meccanici** generati dal moto collettivo e **fluidificazione locale** innesca il processo di invasione all'interno della matrice extracellulare.

A Palamidessi *et al.*, Nature Materials **18**, 1252 (2019)

ARTICLES

<https://doi.org/10.1038/s41563-019-0425-1>

nature
materials

Unjamming overcomes kinetic and proliferation arrest in terminally differentiated cells and promotes collective motility of carcinoma

Soft Matter

PAPER



[View Article Online](#)
[View Journal](#) | [View Issue](#)



Disentangling collective motion and local rearrangements in 2D and 3D cell assemblies†



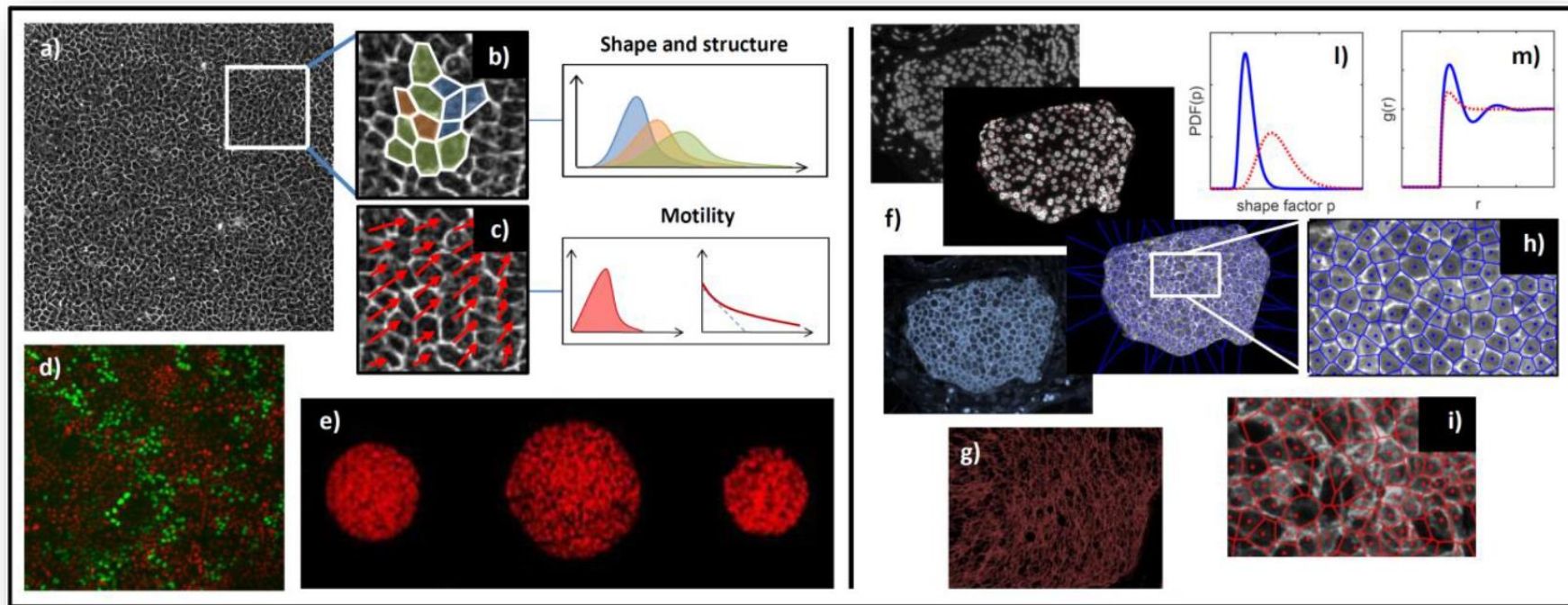
Preprints are preliminary reports that have not undergone peer review.
They should not be considered conclusive, used to inform clinical practice,
or referenced by the media as validated information.

Tissue fluidification promotes a cGAS/STING-mediated cytosolic DNA response in invasive breast cancer



UNIVERSITÀ
DEGLI STUDI
DI MILANO

Predire l'invasione?



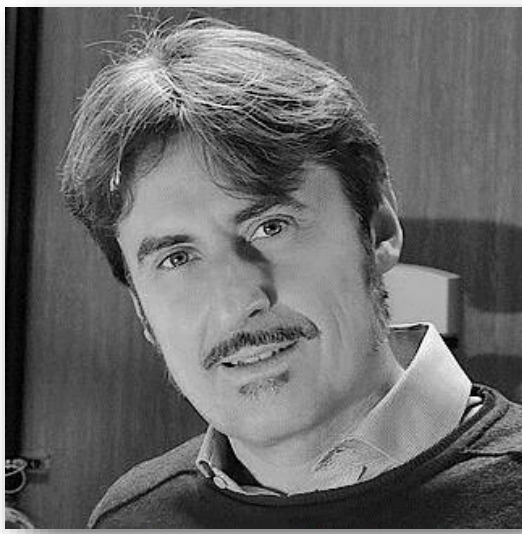
Una delle maggiori sfide aperte consiste nella individuazione di marker **statici** di *unjamming* che permettano di prevedere l'evoluzione di un tessuto tumorale sulla base della sua **struttura** e della **morfologia** delle cellule.



Giorgio Scita
Biologo cellulare



IFOM
FIRC INSTITUTE OF MOLECULAR ONCOLOGY



Roberto Cerbino
Fisico



**universität
wien**



Claudio Tripodo
Anatomo patologo



IFOM
FIRC INSTITUTE OF MOLECULAR ONCOLOGY



UNIVERSITÀ
DEGLI STUDI
DI MILANO



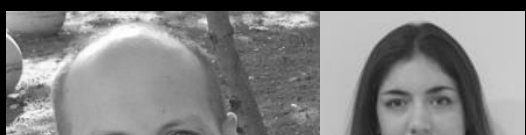
IFOM



ETH zürich



universität
wien



All-optical Fingerprinting of Metastatic Potential

Biophysics-based structural markers of
unjamming in epithelial tissues



AIRC

